

ГОСУДАРСТВЕННЫЙ КОМИТЕТ РОССИЙСКОЙ ФЕДЕРАЦИИ
ПО ВЫШЕМУ ОБРАЗОВАНИЮ

Чувашский государственный университет имени И.Н. Ульянова

АНАЛИЗ ЭЛЕКТРИЧЕСКИХ ЦЕПЕЙ

Методические указания к выполнению
расчетно-графических и курсовых работ
с помощью ЗЕН

РАСЧЕТНО-ГРАФИЧЕСКАЯ РАБОТА 1

РАСЧЕТ ЛИНЕЙНОЙ ЭЛЕКТРИЧЕСКОЙ ЦЕПИ С ПОСТОЯННЫМИ ИСТОЧНИКАМИ

Цель работы - освоение основных методов расчета линейных электрических цепей с постоянными источниками тока и напряжения, метода контуров, метода потенциалов.

Содержание работы.

1.1. Составление аналога. Номер варианта задания для выполнения расчетно-графической работы определяется в соответствии с порядковым номером студента в списке группы илидается преподавателем. На рис. 1.1 приведены варианты групп электрических цепей, по которым формируются их схемы.

Каждая ветвь схемы состоит из резистора и, может быть, последовательно соединенного с ним источника ЭДС. Число последних не должно быть меньше двух и, кроме того, должно соблюдаться еще одно условие: ЭДС включаются в каждую из параллельных ветвей (если такие имеются). В каждые из ветвей включить ЭДС, студент решает самостоятельно.

Сопротивления резисторов (заданы в кОм) последовательно и в ряде коммутаторах значений сопротивлений (табл. 1.1), начиная со значения указанного преподавателем из табл. 1.2.

Значения ЭДС берутся из табл. 1.3 аналогичным образом.

Таблица 1.1

Ряд коммутационных значений сопротивлений

Δ_1	Δ_2	Δ_3	Δ_4	Δ_5	Δ_6	Δ_7	Δ_8	Δ_9
1.0	1.1 1.2 1.3 1.5 1.6 1.8 2.0 2.2 2.4 2.7 3.0 3.8							
3.6	3.9 4.3 4.7 5.1 5.15 6.6 6.2 6.8 7.5 8.2 9.1 10 11							
	1 2 3 4 5 6 7 8 9							

Начальное сопротивление в ряду коммутационных значений

Группа	1	2	3	4
Сопротивление, кОм	5.6	2.7	8.2	3.9
Сопротивление, кОм				

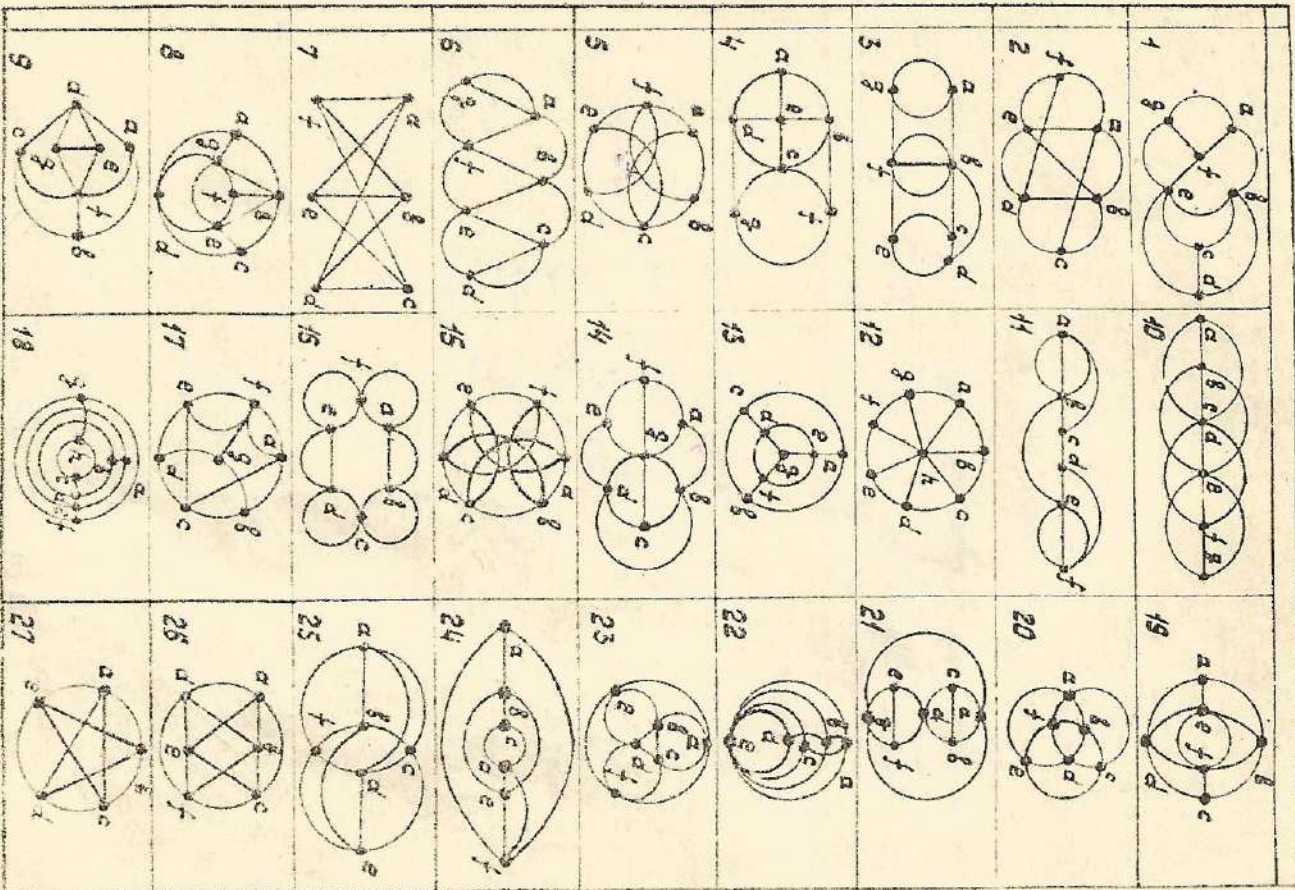


Рис. 1.1.

Таблица 1.3

Значения ЭДС, включаемых в схему

Группа	1	2	3	4
1	30	16	24	5
ЭДС				
В	2	36	10	15

Кроме того, к двум узлам цепи подключается источник тока, значение которого определяется по формуле $I = E_{\max} / R_{min}$, где E_{\max} - наибольшая по значению ЭДС, включенных в схему, R_{min} - наименьшее из всех сопротивлений в схеме. И каким двум узлам подключить источник тока, студент решает самостоятельно или использует табл. 1.4.

Составленная схема утверждается преподавателем и прилагается к выполненному расчету.

1.2. Подготовка данных для расчета на ЭВМ

- 1.2.1. Определить число узлов цепи - k , число ветвей с неизвестными токами - m , число независимых контуров с неизвестными контурными токами - n , число источников тока - l .
- 1.2.2. Выбрать независимые контуры и принять условно-положительные направления токов в ветвях и контурах, разметить узлы.
- 1.2.3. Составить для полученной цепи систему уравнений по законам Кирхгофа в матричной форме

$$[A][I] = [B], \quad (1.1)$$

где
 $[A]$ - квадратная матрица постоянных коэффициентов размерности $m \times m$,
 $[I]$ - вектор-столбец искомых токов в ветвях размерности m ,
 $[B]$ - вектор-столбец свободных членов размерности m ,
составленный комбинацией известных значений источников ЭДС и тока, а также сопротивлений ветвей.

- 1.2.4. Метод контурных токов
- 1.2.4.1. Составить систему уравнений по методу контурных токов

$$[R_k][I_k] = [C_E][E] + [R_I][J], \quad (1.2)$$

Таблица 1.4

Точки подключения источников тока

1	1	2	3	4	5	6	7	8	9	10	11	12	13	14	15	16	17	18	19	20	21	22	23	24	25	26	27	28
1	1	2	3	4	5	6	7	8	9	10	11	12	13	14	15	16	17	18	19	20	1	2	3	4	5	6	7	8
1	1	2	3	4	5	6	7	8	9	10	11	12	13	14	15	16	17	18	19	20	1	2	3	4	5	6	7	8
1	1	2	3	4	5	6	7	8	9	10	11	12	13	14	15	16	17	18	19	20	1	2	3	4	5	6	7	8
1	1	2	3	4	5	6	7	8	9	10	11	12	13	14	15	16	17	18	19	20	1	2	3	4	5	6	7	8

где $[R_k]$ - квадратная симметричная матрица контурных сопротивлений размерностью $n \times n$; $[I_k]$ - вектор-столбец неизвестных контурных токов размерности n ; $[G_\ell]$ - прямоугольная матрица связей источников ЭДС размерности $m \times n$. Строки матрицы $[G_\ell]$ соответствуют контурам, а столбцы - ветвям с источниками ЭДС. Элементы матрицы $G_{k\ell} = 0$, если источник ЭДС в δ -й ветви не включен в k -контур. В противном случае $G_{k\ell} = 1$ или $G_{k\ell} = -1$ в зависимости от того, совпадают или не совпадают положительные направления ЭДС и направление обхода контура; $[E]$ - вектор-столбец источников ЭДС ветвей размерности n , все его элементы - положительные числа, соответствующие значением ЭДС в ветвях или (при их отсутствии) равны нулю; $[R_1]$ - прямоугольная матрица взаимных контурных сопротивлений размерности $n \times \ell$; $[J]$ - вектор-столбец источников токов (известных контурных токов) размерности ℓ .

1.2.4.2. Составить систему уравнений, описывающую связь между неизвестными токами ветвей и контурными токами

$$[I] = [D][I_p],$$

(1.3)

где $[D]$ - матрица контурных размерности $m \times (n + \ell)$, строки которой соответствуют ветвям, а столбцы - расширенной матрице контурных токов. Элементы матрицы $d_{k\ell, k'j'} = 0$, если δ -я ветвь не включена в контур (в том числе и в контур с известным контурным током). Если δ -я ветвь включена в $k'-j'$ -й контур, то $d_{k\ell, k'j'} = 1$ в зависимости от того, совпадают или не совпадают положительные направления токов в ветвях и контурных токах.

1.2.5. Составить систему линейных алгебраических уравнений относительно узловых потенциалов в матричной форме, приняв потенциал единого из узлов (базового) равным нулю ($V_0 = 0$).

$$[G_g][V] = [F][G_\ell][E] + [H][J],$$

(1.4)

где $[G_g]$ - квадратная матрица узловых проводимостей размерности $(n-1) \times (n-1)$; $[V]$ - вектор-столбец неизвестных узловых потенциалов; $[F]$ - прямоугольная матрица связи источников ЭДС ветвей размерности $(n-1) \times m$. Элементы матрицы могут принимать одно из трех значений: 0 - если источник ЭДС ветви не подключен к рассматриваемому узлу, 1 или (-1) - в противном случае и в зависи-

мости от того, направлен он к узлу или от узла соответственно; $[G_\ell]$ - диагональная матрица проводимостей ветвей размерности $m \times m$. Элементы матрицы расположены на главной диагонали и равны проводимостям соответствующих ветвей, остальные элементы - нули; $[E]$ - вектор-столбец источников ЭДС ветвей размерности m ; $[H]$ - матрица связи источников тока. Элементы матрицы принимают следующие значения: 0 - если источник тока не подключен к рассматриваемому узлу; 1 или (-1) - в противном случае и в зависимости от направления источника тока по отношению к узлу; $[J]$ - вектор-столбец источников тока размерности ℓ .

Замечания. 1.1) Проводимости, входящие в ЭМ при расчете по методу узловых потенциалов, должны быть определены с высокой точностью (не менее пяти значащих разрядов). Иначе трудно рассчитывать на хорднее совпадение результатов.

1.2) При наличии в цепи вырожденной ветви (ветви с нулевым сопротивлением) для корректности расчета следует добавить в нее малое сопротивление (например, $R = 10^{-6} \Omega$), которое практически не влияет на токораспределение, но позволяет использовать разработанное программное обеспечение.

1.3) Если в ветви нет источника ЭДС, то необходимо ввести в нее произвольно направленный источник ЭДС, численно равный нулю, и при записи системы (1.4) учитывать этот источник соответствующим коэффициентом матрицы. Такой прием используется для задания токов в ветвях цепи.

1.2.6. Для правильного сделанного расчета должна выполняться баланс мощностей: для любой замкнутой электрической цепи сумма мощностей P_u , развиваемых источниками электрической энергии, равна сумме мощностей P_T , расходуемых в приемниках электрической энергии (пассивных элементах)

$$\sum P_u = \sum P_T;$$

При этом токи через источники ЭДС I_u и напряжения U_T на источниках тока определяются расчетным путем.

1.3. Выполнение расчета на ЭВМ

1.3.1. Вызвать необходимые для проведения расчета программы и ввести подготовленные данные. После окончания работы программы запи- мистрировать результаты расчета.

1.3.2. Составить результаты расчета трех методами. Если расчет выполнен правильно, то величины токов должны совпадать с высокой точностью (допустимая погрешность не более 1%). Убедившись, что баланс мощностей соблюден,

ПРИМЕР: Составление по графу рис. 1.2 электрической цепи и ее анализа: по законам Кирхгофа, методу контурных токов и методу узловых потенциалов. Проверка баланса мощностей.

Схема электрической цепи, полученная в соответствии с указаниями п. 1.1, приведена на рис. 1.3.

ИСХОДНЫЕ ДАННЫЕ:

$n=6$ - число неизвестных токов цепи, $\ell=7$ - число неизвестных контуров с неизвестными контурными токами, $k=7$ - число источников тока.

Система уравнений по законам Кирхгофа

$$I_1 - I_2 - I_{12} = 0$$

$$I_2 - I_3 + I_{12} = 0$$

$$I_3 - I_4 - I_9 - I_{10} = J$$

$$I_4 - I_5 + I_8 = -J$$

$$I_5 - I_6 - I_7 = 0$$

$$I_6 - I_8 - I_{11} = 0$$

$$-R_1 I_1 + R_3 I_3 + R_{10} I_{10} + R_{12} I_{12} = E_{10}$$

$$R_9 I_9 - R_{10} I_{10} = E_9 - E_{10}$$

$$R_4 I_4 - R_8 I_8 - R_9 I_9 + R_{11} I_{11} = -E_9$$

$$R_5 I_5 + R_6 I_6 + R_8 I_8 = 0$$

$$-R_6 I_6 + R_7 I_7 - R_{11} I_{11} = 0$$

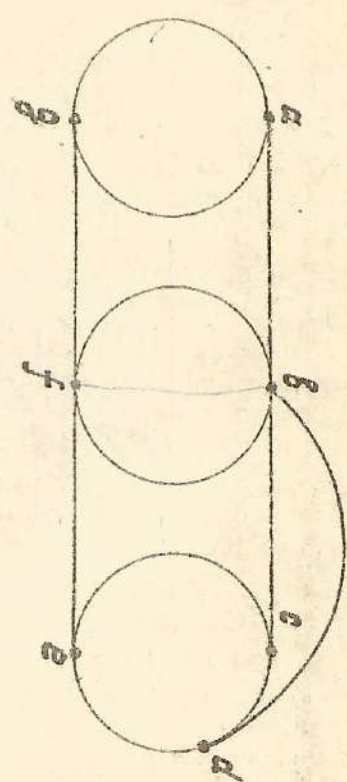


Рис. 1.2

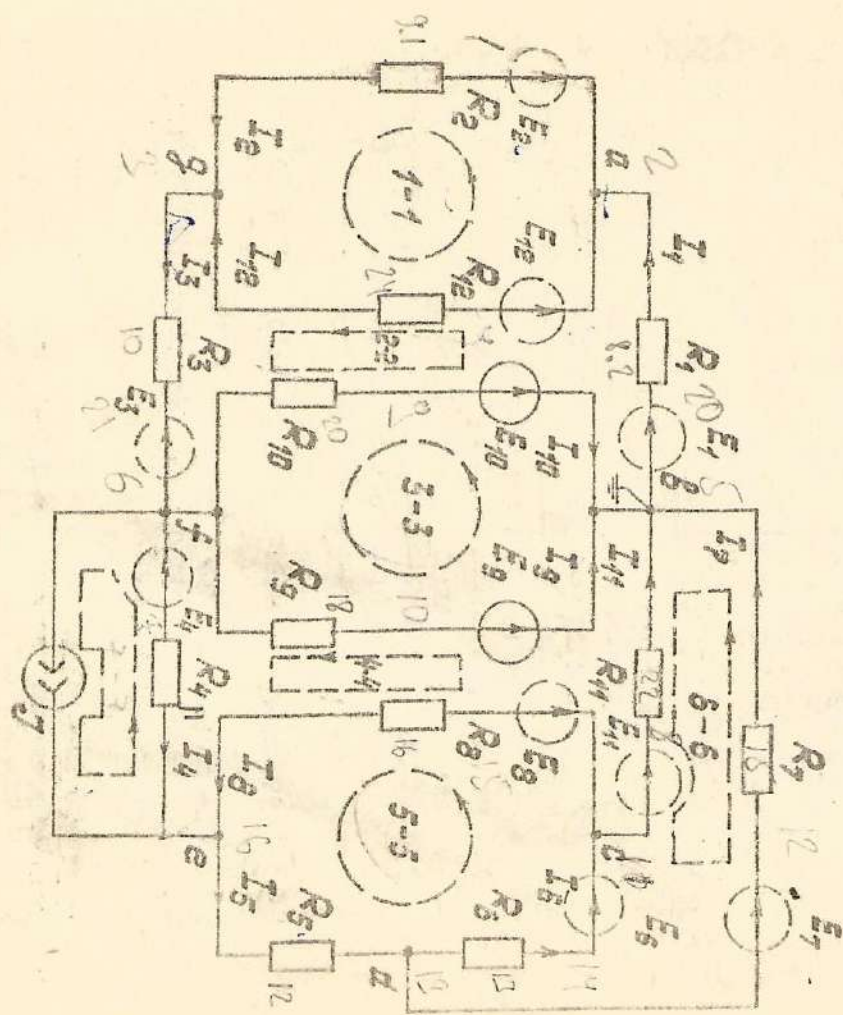


Рис. 1.3

Система в матричной форме (1.1)

1 2 3 4 5 6 7 8 9 10 11 12

$$\left\{ \begin{array}{l} (R_2 + R_{12})I_{11} - R_{12}I_{22} = 0; \\ -R_{12}I_{11} + (R_1 + R_3 + R_{10} + R_{12})I_{22} - R_{10}I_{33} - R_3J = E_{10}; \\ -R_{10}I_{22} + (R_3 + R_{10})I_{33} - R_3I_{44} = E_g - E_{10}; \\ -R_3I_{33} + (R_4 + R_8 + R_9 + R_{11})I_{44} - R_8I_{55} - R_{11}I_{66} - R_4J = -E_g; \\ -R_8I_{44} + (R_5 + R_6 + R_8)I_{55} - R_6I_{66} = 0; \end{array} \right. \quad \begin{matrix} 2-2 \\ 3-3 \\ 5-5 \end{matrix}$$

В матричной форме (1.2), (1.3)

1 2 3 4 5 6

1	1	-1	0	0	0	0	0	0	0	0	-1
2	0	1	-1	0	0	0	0	0	0	0	1
3	0	0	1	-1	0	0	0	0	-1	-1	0
4	0	0	0	1	-1	0	0	1	0	0	0
5	0	0	0	0	1	-1	0	0	0	0	0
6	0	0	0	0	0	1	-1	0	0	0	0
7	0	9,1	0	0	0	0	0	0	0	0	-24
8	8,2	0	10	0	0	0	0	0	20	0	24
9	0	0	0	0	0	0	0	0	18	-20	0
10	0	0	0	11	0	0	0	-16	-18	0	22
11	0	0	0	0	12	13	0	16	0	0	0
12	0	0	0	0	0	-13	15	0	0	-22	0

[B] = [0; 2,927; 0; -2,927; 0; 0; 0; 15; 9; -24; 0; 0].^T

Результаты расчета на ЭВМ
[I] = {1,644; 1,192; -1,283; 0,446; -9,865; 0,456; -0,327; 0,695;
0,175; 0,317; 0,452}.

Метод контурных токов

Система уравнений по методу контурных токов

контур 1-1

1	0	0	0	0	0	0	0	0	0	0	0
2	0	0	0	0	0	0	0	0	0	0	1
3	0	0	0	0	0	0	0	0	0	1	-1
4	0	0	0	0	0	0	0	0	-1	0	0
5	0	0	0	0	0	0	0	0	0	0	0
6	0	0	0	0	0	0	0	0	0	0	0

1 2 3 4 5 6 7.

1	0	1	0	0	0	0
2	1	0	0	0	0	0
3	0	1	0	0	0	-1
4	0	0	0	1	0	-1
5	0	0	0	0	1	0
6	0	0	0	0	0	1

$$\begin{cases}
 V_A \left(\frac{1}{R_1} + \frac{1}{R_2} + \frac{1}{R_{12}} \right) - V_B \left(\frac{1}{R_2} + \frac{1}{R_{12}} \right) = 0; & \text{узел а} \\
 -V_A \left(\frac{1}{R_2} + \frac{1}{R_{12}} \right) + V_B \left(\frac{1}{R_2} + \frac{1}{R_{12}} + \frac{1}{R_3} \right) - V_C \cdot \frac{1}{R_3} = -J; & \text{б} \\
 -V_B \frac{1}{R_3} + \frac{1}{R_4} \left(\frac{1}{R_3} + \frac{1}{R_4} + \frac{1}{R_5} \right) - V_E \frac{1}{R_4} = -E_B \frac{1}{R_3} - E_D \frac{1}{R_{10}}; & \text{в} \\
 -V_E \frac{1}{R_4} + V_E \left(\frac{1}{R_4} + \frac{1}{R_5} + \frac{1}{R_6} \right) - V_d \frac{1}{R_5} - V_C \frac{1}{R_6} = J; & \text{г} \\
 -V_E \frac{1}{R_6} + V_d \left(\frac{1}{R_5} + \frac{1}{R_6} + \frac{1}{R_7} \right) - V_C \frac{1}{R_6} = 0; & \text{д} \\
 -V_E \frac{1}{R_8} - V_d \frac{1}{R_5} + V_C \left(\frac{1}{R_6} + \frac{1}{R_8} + \frac{1}{R_9} \right) = 0; & \text{е}
 \end{cases}$$

Представим систему в матричной форме (1.4)

1 2 3 4 5 6

0,27431	-0,15684	0	0	1	0	0
-0,15617	0,25243	-0,1	0	0	0	0
0	-0,1	0,29606	-0,09128	0	0	0
10	0	1	-1	0	0	0
11	0	0	1	0	-1	0
12	-1	1	0	0	0	0

1 2 3 4 5 6 7 8 9 10 11 12

Результаты расчета на ЭВМ

Контурные токи $\{I_k\} = [1,192; 1,645; 1,468; 0,773; 0,446; 0,456];$

Токи ветвей $\{I\} = [1,644; 1,192; -1,283; -2,154; 0,446; -9,865; 0,456; -0,327; 0,695; 0,175; 0,317; 0,459]^T.$

Метод узловых потенциалов

Система уравнений по методу узловых потенциалов. Потенциал узла b примем равным нулю ($V_b = 0$).

РАСЧЕТНО-ГРАФИЧЕСКАЯ РАБОТА 2

Примечание: Матрица сформирована с учетом замечания 1. 3
(рис. 1.3)

$$[\mathbf{H}] = [0; -1; 0; 1; 0; 0]^T; \quad [\mathbf{G}] = [2; 97];$$

$$[\mathbf{G}_b] = \text{diag}(0, 12201; 0, 11032; 0, 10021; 0, 09107; 0, 08334; 0, 07705; 0, 06618; 0, 06382; 0, 05622; 0, 05017; 0, 04512; 0, 04241)$$

$$[\mathbf{E}] = [0; 0; 0; 0; 0; 0; 0; 24; 15; 0; 0]^T;$$

Результаты расчета на ЭВМ
узловые потенциалы: $[\mathbf{V}] = [-13, 478; -24, 323; 11, 490; 12, 200; 6, 848; 6, 972]$

токи ветвей: $[\mathbf{I}] = [1, 644; 1, 192; -1, 283; 0, 446; -9, 856; 0, 456; -0, 327; 0, 695; 0, 175; 0, 317; 0, 452]^T$.

Баланс мощностей: $P_H = 128,208 \text{ Вт}; \quad P_R = 128,207 \text{ Вт}$,
т.е. $P_H \approx P_R$.

Примечание: В методе узловых потенциалов программа выводит абсолютные значения токов в ветвях цепи и их направления.

Пель-работы - основные комплексного метода расчета цепи синусоидального тока; составление комплексных уравнений и их решения с помощью ЭВМ

Содержание работы.

2. Подготовка к выполнению работы

2.1. Составление задания.

Граф электрической цепи - тот же, что и в первой работе. Но теперь в схему вводятся источники синусоидального напряжения и тока частоты $f = 50 \text{ Гц} (\omega = 100\pi \text{ с}^{-1})$. Всего используется два источника - ЭДС и источник тока. Действующие значения E и начальные фазы ЭДС ψ_0 указаны в табл. 2. 1. Действующее значение источника тока определяется как $I_m = E / Z_{min}$, где Z_{min} - минимальное из полных сопротивлений ветвей. Начальные фазы источников тока приведены в табл. 2. 2.

Вводить дополнительные источники в параллельные ветви, как это делалось в первой работе, в настоящем задании не требуется.

Ветви включают в себя следующие элементы сопротивления R , индуктивности L и емкости C . В каждую ветвь входит одна ветвь R_L (последовательное соединение R и L) и одна ветвь RC (последовательное соединение R и C), все остальные ветви содержат только чистые R . Только L и только C элементы. Число ветвей рода L и рода C оговорено в табл. 2. 3, рода R - все оставшиеся ветви.

Таблица 2.1

Параметры ЭДС				
Группа	1	2	3	4
E , В	220	380	36	24
ψ_0 , град	90	120	150	-30

РАСЧЕТ ЛИНЕЙНОЙ ЭЛЕКТРИЧЕСКОЙ ЦЕПИ С СИНУСОИДАЛЬНЫМИ ИСТОЧНИКАМИ

Таблица 2.2

Параметр источника тока

Группа	1	2	3	4
1/2, град	180	30	-120	60

Таблица 2.3
Число ветвей с элементами R или L или C

Группа	1	2	3	4
Только L	7	6	4	5
Только C	1	2	4	3

Таблица 2.4
Начальное значение в ряду сопротивлений

Группа	1	2	3	4
R , кОм	1.6	3.0	12	18

Таблица 2.5
Набор индуктивностей и ёмкостей для каждой группы

Группа	1	2	3	4
4	2.0; 2.2; 2.4	8.0; 8.2; 8.4	30; 31	42; 43
4	2.6; 2.8; 3.0	8.6; 8.8; 9.0	32; 33	44; 45
4	3.2; 3.5;	9.2; 9.5	34	46;
C , мФ	4.7; 5.6	0.68; 0.82	10.22; 0.27	0.18; 0.22
C , мФ	1.0	0.33	0.39	0.27; 0.33

Параметры резисторов R выбираются из ряда номинальных значений из табл. 1.1. Из этого ряда берутся последовательно лучшие друг за другом значения, начиная с того, которое указано в табл. 2.4.

Величины ёмкостей и индуктивностей, используемые при построении схемы, даны в табл. 2.5.

Замечание: если число значений ёмкостей или индуктивностей, приведенных в табл. 2.5, недостаточно, то некоторые значения можно использовать повторно.

2.2. Методические указания для составления матричных уравнений по законам Кирхгофа, методу контурных токов и методу узловых потенциалов аналогичны пунктам 1.2 работы 1 с учетом комплексного характера систем уравнений.

ПРИМЕР. Попытаться данные для расчета на ЭЭМ токов ветвей электрической цепи синусоидального тока (рис. 2.1) по законам Кирхгофа, методом контурных токов и методом узловых потенциалов. Дано: $\dot{I} = 0.89$; $R_1 = 20 \text{ кОм}$; $R_5 = 20 \text{ кОм}$; $R_3 = 30 \text{ кОм}$; $x_{23} = 1/\omega C_3 = 130 \times 10^6 \text{ Ом}$; $x_{24} = \omega L_4 = 100 \text{ кН}$; $x_{43} = 1/\omega C_2 = 50 \text{ кОм}$; $\dot{E}_1 = j/120 \text{ В}$; $\dot{E}_3 = -j/100 \text{ В}$; $\dot{E}_5 = (1-j)/100 \text{ В}$.

Подготовка к расчету на ЭЭМ
Система уравнений по законам Кирхгофа

$$-i_1 - i_2 - i_4 = j,$$

$$-i_1 - i_2 - i_5 = 0;$$

$$-i_1 - i_2 - i_6 = 0;$$

$$-i_3 - i_5 + i_6 = 0;$$

$$R_1 i_1 + (R_6 + j\omega C_6) i_6 - j\omega C_4 i_4 = \dot{E}_1; \quad \text{контур 1-1}$$

$$-(R_5 + j\omega C_5) - j\omega C_2 i_2 - R_5 i_5 = \dot{E}_5; \quad 2-2$$

$$j\omega C_4 i_4 + R_5 i_5 + j\omega C_3 i_3 = -\dot{E}_3. \quad 3-3$$

$$\begin{cases} R_1 i_1 + (R_6 + j\omega C_6) i_6 - j\omega C_4 i_4 = \dot{E}_1; \\ -(R_5 + j\omega C_5) - j\omega C_2 i_2 - R_5 i_5 = \dot{E}_5; \\ j\omega C_4 i_4 + R_5 i_5 + j\omega C_3 i_3 = -\dot{E}_3. \end{cases}$$

Поставим числовые значения, затем ее в матричной форме типа (1.1)

$$[A][i] = [b],$$

E5=14,421 L45

-1+j0	0+j0	-1+j0	-1+j0	0+j0	0+j0
1+j0	-1+j0	0+j0	0+j0	0+j0	-1+j0
0+j0	0+j0	1+j0	0+j0	0+j0	1+j0
20+j0	0+j0	0+j0	0-j100	0+j0	-30-j50
0+j0	0-j150	0+j0	0+j0	-70+j0	30+j50
0+j0	0+j120	0+j100	70+j0	0+j0	

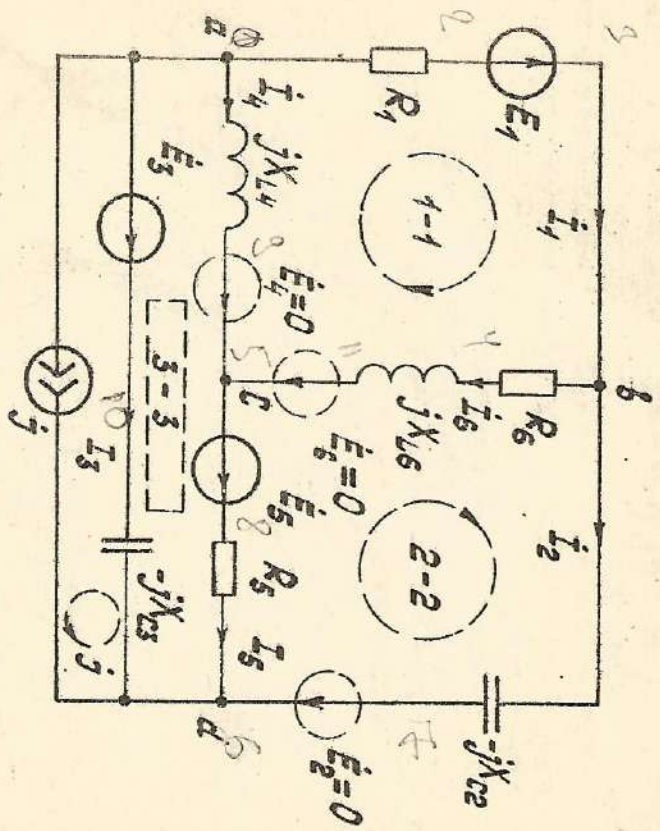


Рис. 2.1.

$$[\dot{A}] = \begin{bmatrix} 1(89;0); & (0;0); & (0;0); & (-100;100); & (0;100) \end{bmatrix}^T = \\ = \begin{bmatrix} \dot{i}_1; & 0; & 0; & \dot{E}_1; & -\dot{E}_5; & -\dot{E}_3 \end{bmatrix}^T; [\dot{I}] = \begin{bmatrix} \dot{i}_1; & \dot{i}_2; & \dot{i}_3; & \dot{i}_4; & \dot{i}_5; & \dot{i}_6 \end{bmatrix}^T.$$

Система уравнений по методу контурных токов

$$\begin{cases} (R_1 + R_6 + jx_{14} + jx_{26})\dot{i}_1 + (-R_6 - jx_{26})\dot{i}_{22} + (-jx_{14} - jx_{23})\dot{i}_{23} + E_1 + 0\cdot\dot{E}_3 + 0\cdot\dot{E}_5 - 0\cdot\dot{i}_1 - 1 \\ (-R_5 - jx_{24})\dot{i}_{11} + (R_6 + R_5 + jx_{24} - jx_{26})\dot{i}_{22} + (-R_5)\dot{i}_{23} = 0\cdot\dot{E}_1 + 0\cdot\dot{E}_3 + (-1)\dot{E}_5 - 0\cdot\dot{i}_2 - 2 \\ (-jx_{24})\dot{i}_{11} + (-R_5)\dot{i}_{22} + (R_5 + jx_{24} - jx_{26})\dot{i}_{23} = 0\cdot\dot{E}_1 + (-1)\dot{E}_3 - (-j)\dot{E}_5 - (-j)x_{26}\dot{i}_3 - 3 \end{cases}$$

Представляем в систему числовые значения:

$$\begin{cases} (50 + j50)\dot{i}_1 + (-30 - j100)\dot{i}_{22} + (-j60)\dot{i}_{23} = 1\cdot E_1 + 0\cdot\dot{E}_3 + 0\cdot\dot{E}_5 - 0\cdot\dot{i}_1; \\ (-30 - j100)\dot{i}_{11} + (100 + j50)\dot{i}_{22} + (-70)\dot{i}_{23} = 0\cdot\dot{E}_1 + (-1)\dot{E}_3 + 0\cdot\dot{E}_5 - 0\cdot\dot{i}_2; \\ (-j50)\dot{i}_{11} + (-70)\dot{i}_{22} + (70 - j70)\dot{i}_{23} = 0\cdot\dot{E}_1 + (-1)\dot{E}_3 + 1\cdot\dot{E}_5 - (-j/120)\dot{i}_3; \end{cases}$$

и заносим ее в матричной форме типа (1.2)

$$[Z_k][\dot{I}_k] = [Z_E][\dot{E}_g] - [Z_Y][\dot{J}]$$

$$[\dot{I}_k] = [\dot{i}_1; \dot{i}_{22}; \dot{i}_{23}]; \quad [\dot{J}] = [0, \text{запись } j0];$$

$$[Z_k]^2 = \begin{vmatrix} 1 & 50+j150 & -30-j100 & -j50 \\ -30-j100 & 100+j50 & 70 & \\ -j50 & 70 & 70-j70 \end{vmatrix}$$

$$[C_e] = \begin{vmatrix} 1 & 200\exp(j90^\circ) \\ 2 & 0\exp(j0^\circ) \\ 3 & 100\exp(-j90^\circ) \end{vmatrix}$$

Записываем систему в матричной форме

$$\begin{aligned} [E_b] &= \begin{bmatrix} 1 & 2 & 3 & 4 & 5 & 6 \\ 1 & 1 & 0 & 0 & 0 & 0 \\ 2 & 0 & 0 & 0 & 0 & -1 \\ 3 & 0 & 1 & 0 & 1 & 0 \end{bmatrix}; [Z_j] = \begin{bmatrix} 0 \\ 0 \\ 0 \\ -j120 \end{bmatrix}; [I_s] = \begin{bmatrix} 1 & 2 & 3 & 4 & 5 & 6 \\ i_1 & i_2 & i_3 & i_4 & i_5 & i_6 \end{bmatrix}; [\theta] = \begin{bmatrix} -1 & 0 & 1 & 0 \\ 0 & -1 & 1 & 0 \\ 1 & -1 & 0 & 0 \end{bmatrix}; [I_k] = \begin{bmatrix} I_{11} \\ I_{22} \\ I_{33} \\ j \end{bmatrix}; \\ 4 & 5 & 6 \\ 141,421\exp(-j45^\circ) \\ 0\exp(j0^\circ) \end{aligned}$$

В матрице отсутствуют элементы 2, 4 и 6 столбцов, так как во 2,

4 и 6-й ветвях отсутствуют источники ЭДС.

Составляем систему уравнений, описывающую связь между неизвестными токами ветвей и контурными токами. Предварительно выбираем положительные направления токов ветвей, как показано на рис. 3.

$$\dot{i}_1 = 1 \cdot \dot{I}_{11} + 0 \cdot \dot{I}_{22} + 0 \cdot \dot{I}_{33} + 0 \cdot \dot{j};$$

$$\dot{i}_2 = 0 \cdot \dot{I}_{11} + 1 \cdot \dot{I}_{22} + 0 \cdot \dot{I}_{33} + 0 \cdot \dot{j};$$

$$\dot{i}_3 = 0 \cdot \dot{I}_{11} + 0 \cdot \dot{I}_{22} + (-1) \dot{I}_{33} + (-1) \dot{j};$$

$$\dot{i}_4 = (-1) \dot{I}_{11} + 0 \cdot \dot{I}_{22} + 1 \cdot \dot{I}_{33} + 0 \cdot \dot{j};$$

$$\dot{i}_5 = 0 \cdot \dot{I}_{11} + (-1) \dot{I}_{22} + i \cdot \dot{I}_{33} + 0 \cdot \dot{j};$$

$$\dot{i}_6 = 1 \cdot \dot{I}_{11} + (-1) \dot{I}_{22} + 0 \cdot \dot{I}_{33} + 0 \cdot \dot{j}.$$

Составим систему уравнений по методу узловых потенциалов, приняв предварительно потенциал узла, разным нулю ($V_d = 0$).

$$\text{узел } a: \frac{V_a}{R_1} + \frac{1}{jX_{14}} + \frac{1}{jX_{13}} - \frac{V_b}{R_1} - \frac{V_c}{jX_{14}} = -\frac{\dot{E}_1}{R_1} - \frac{\dot{E}_3}{(jX_{13})} - \dot{j}_1;$$

$$\text{узел } b: -\frac{V_a}{R_2} + \frac{1}{jX_{24}} + \frac{1}{jX_{23}} - \frac{V_c}{R_2} + \frac{1}{jX_{24}} + \frac{1}{jX_{21}} - \frac{V_d}{R_2} = \frac{\dot{E}_2}{R_2};$$

$$\text{узел } c: -\frac{V_a}{jX_{14}} - \frac{1}{jX_{13}} + \frac{1}{jX_{14}} + \frac{1}{jX_{12}} + \frac{1}{jX_{11}} + \frac{1}{R_1} = \frac{\dot{E}_3}{R_3};$$

Поставим в эту систему числовые выражения, учитя дополнительные (нулевые) ЭДС в ветвях в соответствии с замечанием (1.3)

$$\dot{E}_2 = \dot{E}_4 = \dot{E}_6 = 0;$$

$$\dot{V}_a / (0,05 + j0,0167) - \dot{V}_b / 0,05 - \dot{V}_c / 0,01 = (-1) \dot{E}_1 / 0,05 + (-1) \dot{E}_3 / (j0,00833) +$$

$$+ (-1) \dot{E}_4 (j \cdot 0,01) + (-1) \cdot \dot{j}_1;$$

$$-\dot{V}_d / 0,05 + \dot{V}_b / (0,05882 + j0,00529) - \dot{V}_c / (0,00882 - j0,01471) = i \dot{E}_1 / 0,05 + (-1) \dot{E}_3 / (0,00882 - j0,01471) + (-1) \dot{E}_2 / 0,02 + 0 \cdot \dot{j}_1;$$

$$-\dot{V}_a / (-0,04) - \dot{V}_b / (0,00882 - j0,01471) + \dot{V}_c / (0,02344 - j0,02471) = 1 \cdot \dot{E}_1 / (j0,01) + 1 \cdot \dot{E}_3 / (0,00882 - j0,01471) + (-1) \dot{E}_5 / (0,01429 + j0) + 0 \cdot \dot{j}_1;$$

Перейдем к матричной форме типа (1.4)

$$[\underline{Y}_g][\dot{V}] = [\underline{C}][\underline{Y}_b][\dot{\underline{E}}_b] + [\underline{D}][\dot{\underline{j}}],$$

РАСЧЕТНО-ГРАФИЧЕСКАЯ РАБОТА №3

ТОПОЛОГИЧЕСКИЙ АНАЛИЗ ЭЛЕКТРИЧЕСКОЙ ЦЕПИ

0,05+j0,00167	-0,05+j0	-0,01+j0	2
-0,05+j0	0,05882+j0,00529	-0,00882+j0,01471	3
0,01+j0	-0,00882+j0,01471	0,02311-j0,02471	0

$$[\dot{V}] = [\dot{V}_a; \dot{V}_b; \dot{V}_c]^T; \quad [\underline{Y}_b] = \text{diag}\left[\frac{1}{R_1}; \frac{1}{(R_2 + j\omega_2)}; \frac{1}{(R_3 + j\omega_3)}\right];$$

$$\frac{1}{j\omega_4}; \frac{1}{R_5}; \frac{1}{(R_6 + j\omega_6)} = \{(0,05+j0); (0+j0,02); (0+j0,00882); (0-j0,01); (0,01429+j0); (0,00882-j0,01471)\};$$

1 2 3 4 5 6

$$[-1 \quad 0 \quad -1 \quad -1 \quad 0 \quad 0]$$

$|120\exp(j90^\circ)|$

$$[1 \quad -1 \quad 0 \quad 0 \quad 0 \quad -1]$$

0

$$[0 \quad 0 \quad 0 \quad 1 \quad -1 \quad 1]$$

$|100\exp(-j90^\circ)|$

$$[\underline{E}_b] =$$

$$[100 \quad 2\exp(-45^\circ) \quad 0]$$

0

$$[\underline{D}] = [-1 \quad 1 \quad 0 \quad 0];$$

$$[\dot{\underline{j}}] = [0, 0, 89+j0];$$

- Цель расчета: выполнение на ЭВМ (по готовой программе) расчета сложной электрической цепи, освоение матричного метода узловых напряжений, опытная проверка принципа взаимности.
- Содержание работы
- 3.1. Повторение расчета схемы, составленной в соответствии с заданием в расчетно-графической работе 1.
 - 3.2. Повторение расчета схемы, составленной в соответствии с заданием в расчетно-графической работе 2.
 - 3.3. Проверка принципа взаимности.
- 3.3.1. Определение тока, созданного в m -й ветви источником (ЭДС), действующим в n -й ветви. Определение тока n -й ветви, созданного тем же источником, действующим в m -й ветви. Сравнение результатов.
- 3.3.2. Определение напряжения между точками α и β , созданного источником тока, примененным к точкам γ и δ . Определение напряжения между точками α и β , созданного тем же источником тока, примененным к точкам γ и δ . Сравнение результатов.
- Номера m -й и n -й ветвей приведены в табл. 3.1, а номера точек (узлов) α , β и γ , δ – в табл. 3.2.
- Замечания. 3.1. Входные данные компонуются в виде следующих матриц: матрицы соединений, диагональной матрицы сопротивлений, векторов (матриц-столбцов) ЭДС и источников тока.
- 3.2. Источники тока должны быть введены в состав обобщенных ветвей.
- 3.3. Выходные данные пространства расчета – токи ветвей и обобщенные напряжения ветвей.
- 3.4. Схемы электрических цепей составляются, как и в работах 1 и 2, т. е. на основании графов, приведенных на рис. 1.1.

Таблица 3.2

Пары узлов схемы α ; β ; γ ; δ , по отношению к которым проверяется пасность эвимности.

Здесь и схемы, по отношению к которым проверяется свойство эвимности.

Таблица 3.1

Схемы и схемы, по отношению к которым проверяется свойство эвимности.

№	схема	1	2	3	4	5	6	7	8	9	10	11	12	13	14	15	16	17	18	19	20	21	22	23	24	25	26	27
1	Tr	-	-	-	-	-	-	-	-	-	-	-	-	-	-	-	-	-	-	-	-	-	-	-	-	-	-	-
2	-	-	-	-	-	-	-	-	-	-	-	-	-	-	-	-	-	-	-	-	-	-	-	-	-	-	-	-
3	-	-	-	-	-	-	-	-	-	-	-	-	-	-	-	-	-	-	-	-	-	-	-	-	-	-	-	-
4	-	-	-	-	-	-	-	-	-	-	-	-	-	-	-	-	-	-	-	-	-	-	-	-	-	-	-	-
5	-	-	-	-	-	-	-	-	-	-	-	-	-	-	-	-	-	-	-	-	-	-	-	-	-	-	-	-
6	-	-	-	-	-	-	-	-	-	-	-	-	-	-	-	-	-	-	-	-	-	-	-	-	-	-	-	-
7	-	-	-	-	-	-	-	-	-	-	-	-	-	-	-	-	-	-	-	-	-	-	-	-	-	-	-	-
8	-	-	-	-	-	-	-	-	-	-	-	-	-	-	-	-	-	-	-	-	-	-	-	-	-	-	-	-
9	-	-	-	-	-	-	-	-	-	-	-	-	-	-	-	-	-	-	-	-	-	-	-	-	-	-	-	-
10	-	-	-	-	-	-	-	-	-	-	-	-	-	-	-	-	-	-	-	-	-	-	-	-	-	-	-	-
11	-	-	-	-	-	-	-	-	-	-	-	-	-	-	-	-	-	-	-	-	-	-	-	-	-	-	-	-
12	-	-	-	-	-	-	-	-	-	-	-	-	-	-	-	-	-	-	-	-	-	-	-	-	-	-	-	-
13	-	-	-	-	-	-	-	-	-	-	-	-	-	-	-	-	-	-	-	-	-	-	-	-	-	-	-	-
14	-	-	-	-	-	-	-	-	-	-	-	-	-	-	-	-	-	-	-	-	-	-	-	-	-	-	-	-
15	-	-	-	-	-	-	-	-	-	-	-	-	-	-	-	-	-	-	-	-	-	-	-	-	-	-	-	-
16	-	-	-	-	-	-	-	-	-	-	-	-	-	-	-	-	-	-	-	-	-	-	-	-	-	-	-	-
17	-	-	-	-	-	-	-	-	-	-	-	-	-	-	-	-	-	-	-	-	-	-	-	-	-	-	-	-
18	-	-	-	-	-	-	-	-	-	-	-	-	-	-	-	-	-	-	-	-	-	-	-	-	-	-	-	-
19	-	-	-	-	-	-	-	-	-	-	-	-	-	-	-	-	-	-	-	-	-	-	-	-	-	-	-	-
20	-	-	-	-	-	-	-	-	-	-	-	-	-	-	-	-	-	-	-	-	-	-	-	-	-	-	-	-
21	-	-	-	-	-	-	-	-	-	-	-	-	-	-	-	-	-	-	-	-	-	-	-	-	-	-	-	-
22	-	-	-	-	-	-	-	-	-	-	-	-	-	-	-	-	-	-	-	-	-	-	-	-	-	-	-	-
23	-	-	-	-	-	-	-	-	-	-	-	-	-	-	-	-	-	-	-	-	-	-	-	-	-	-	-	-
24	-	-	-	-	-	-	-	-	-	-	-	-	-	-	-	-	-	-	-	-	-	-	-	-	-	-	-	-
25	-	-	-	-	-	-	-	-	-	-	-	-	-	-	-	-	-	-	-	-	-	-	-	-	-	-	-	-
26	-	-	-	-	-	-	-	-	-	-	-	-	-	-	-	-	-	-	-	-	-	-	-	-	-	-	-	-
27	-	-	-	-	-	-	-	-	-	-	-	-	-	-	-	-	-	-	-	-	-	-	-	-	-	-	-	-

Пары узлов схемы α ; β ; γ ; δ , по отношению к которым проверяется пасность эвимности.

Таблица 3.2

Схемы и схемы, по отношению к которым проверяется свойство эвимности.

РАСЧЕТНО-ГРАФИЧЕСКАЯ РАБОТА 4

УСТАНОВЛЕННЫЕ РЕЖИМЫ ЛИНЕЙНЫХ ЦЕПЕЙ

5.

Данная работа может быть предложена взамен работ 1 и 2 или Цель расчета: ознакомление с методами расчета электрических цепей (метод контурных токов и метод узловых напряжений), со схемами соединения четырехполюсников, с теорией об активном двухполюснике (понятие об эквивалентном генераторе) и с методом эквивалентного генератора.

Содержание работы.

4.1. Составление схем, состоящей из трех четырехполюсников, соединенных заданным образом, и представляемой собой результатирующий четырехполюсник.

На рис. 4.1 приведено 25 схем четырехполюсников. Номер схемы соответствует номеру фамилии в списке группы (по учебному журналу). Параметры четырехполюсников указаны в табл. 4.1.

Результатирующий четырехполюсник составляется из трех одинаковых элементарных четырехполюсников. Сначала соединяются первый и второй элементарные четырехполюсники. Вид их соединения указан в табл. 4.2. Получается промежуточный четырехполюсник. К нему затем присоединяется третий четырехполюсник. Вид этого соединения задан в табл. 4.3.

Методические указания.

a) Существуют следующие виды соединения четырехполюсников:

A - каскадное (к выходу одного подключается вход другого), **Z** - последовательное (входы двух четырехполюсников соединены последовательно между собой, выходы - между собой), **Y** - параллельное (входы соединены параллельно между собой, выходы - между собой), **H** - последовательно-параллельное (входы соединены последовательно, выходы - параллельно), **G** - параллельно-последовательное (входы соединены параллельно, выходы - последовательно).

б) Для определения входного сопротивления сложной электрической цепи можно воспользоваться одним из методов их расчета, полагая, что вход цепи известное напряжение и определение ток или поступив наоборот (подав ток и определив напряжение).

4.2. Определение тока короткого замыкания результатирующего четырехполюсника.

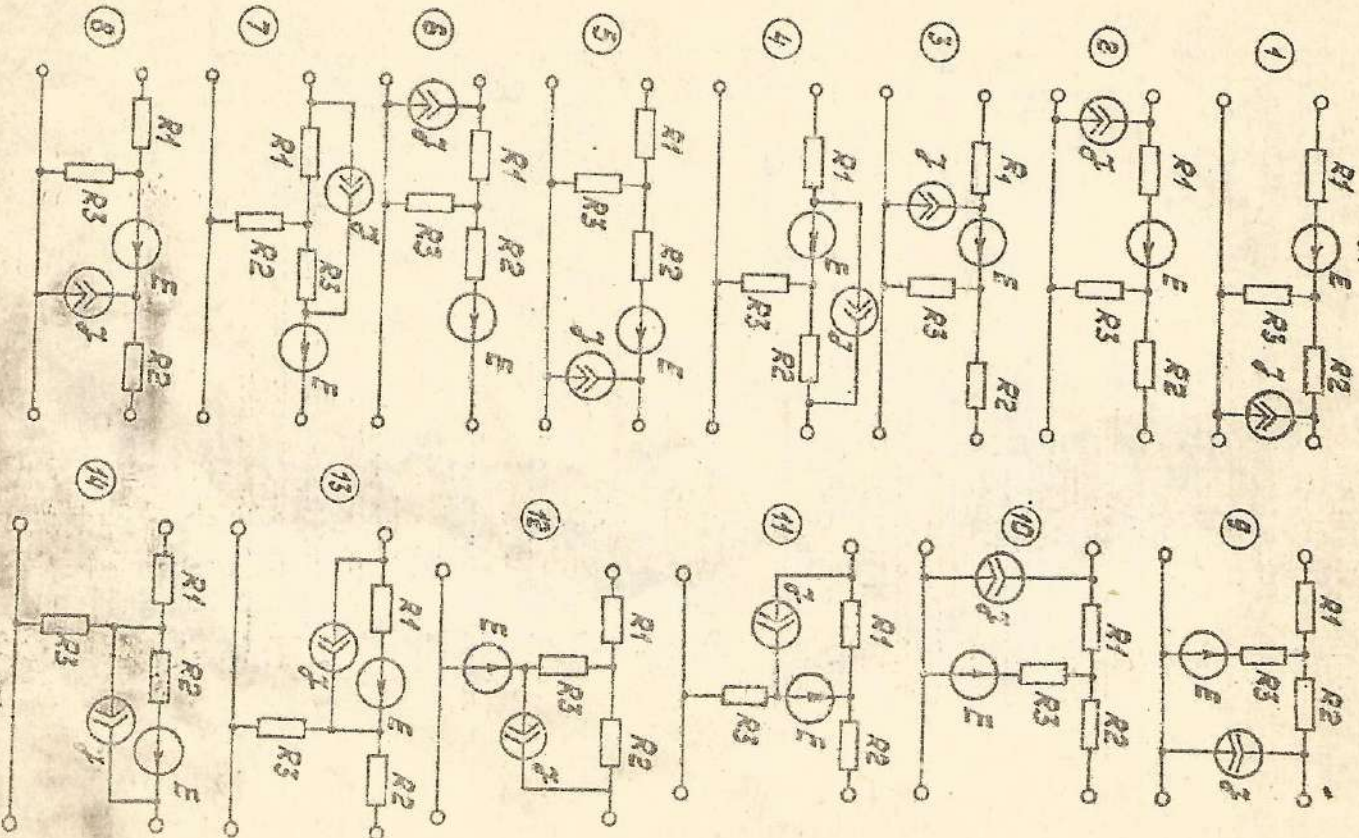


Таблица 4.1.а

Цепь постоянного тока

Группа	1	2	3	4
R_1 , кОм	1,1	1,0	0,82	2,4
R_2 , кОм	1,6	1,2	0,91	2,2
R_3 , кОм	3,3	3,9	2,0	6,2
E , В	24	15	5	16
J , мА	45	18	7	25

Таблица 4.1.б

Цепь переменного тока

Группа	31	32	33	41
Ветвь 1	$X_L = 4,1$	$X_C = 4,0$	$R = 0,82$	$X_L = 2,4$
Ветвь 2	$X_C = 1,6$	$R = 1,2$	$X_L = 0,91$	$X_C = 2,2$
Ветвь 3	$R = 3,3$	$X_L = 3,9$	$X_C = 2,0$	$R = 5,2$
	$E = 24$	15	5	36
	$J, \text{ мА}$	45	18	15
		15	120°	180°
		15	180°	25
		15	-45°	-30°

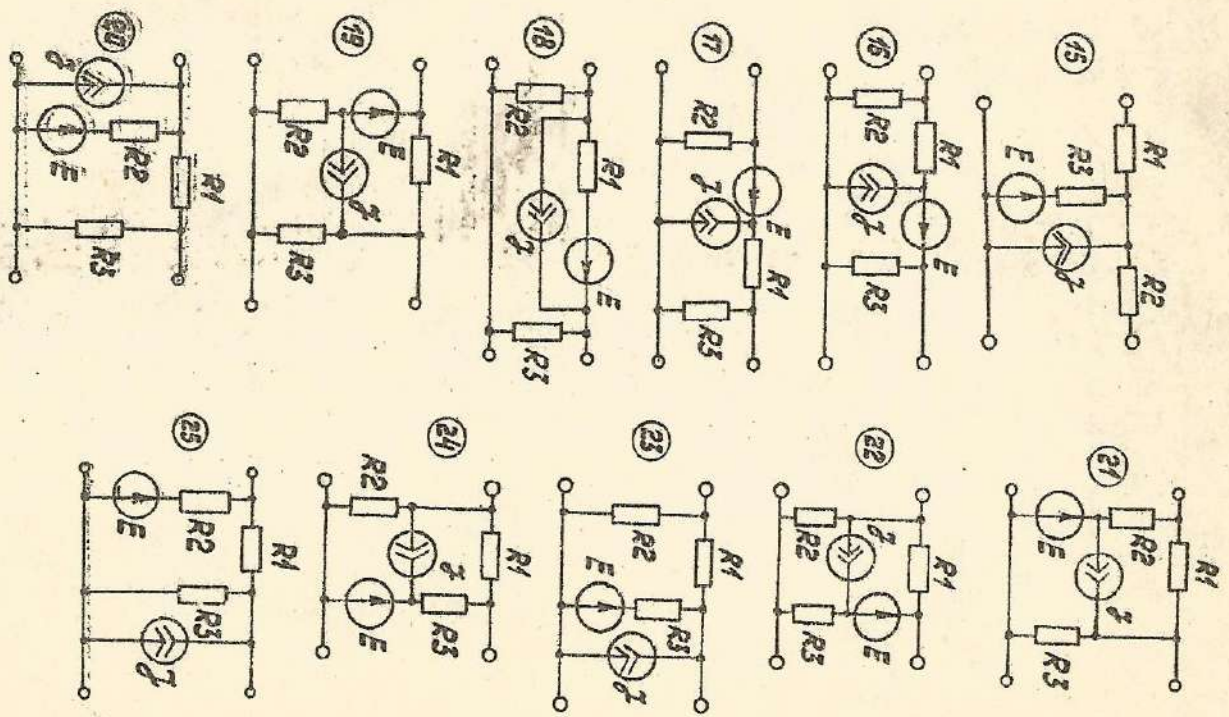


Рис. 4.1.

Таблица 4.2

Схема соединения двух четырехполюсников, давшая промежуточный четырехполюсник

Г	—	—	Г	—	—	Г	—	—	Г	—	—
и	—	—	и	—	—	и	—	—	и	—	—
жемн	—	—									
1	—	—	1	—	—	1	—	—	1	—	—
2	—	—	2	—	—	2	—	—	2	—	—
3	—	—	3	—	—	3	—	—	3	—	—
4	—	—	4	—	—	4	—	—	4	—	—
5	—	—	5	—	—	5	—	—	5	—	—
6	—	—	6	—	—	6	—	—	6	—	—
7	—	—	7	—	—	7	—	—	7	—	—
8	—	—	8	—	—	8	—	—	8	—	—
9	—	—	9	—	—	9	—	—	9	—	—
10	—	—	10	—	—	10	—	—	10	—	—
11	—	—	11	—	—	11	—	—	11	—	—
12	—	—	12	—	—	12	—	—	12	—	—
13	—	—	13	—	—	13	—	—	13	—	—
14	—	—	14	—	—	14	—	—	14	—	—
15	—	—	15	—	—	15	—	—	15	—	—
16	—	—	16	—	—	16	—	—	16	—	—
17	—	—	17	—	—	17	—	—	17	—	—
18	—	—	18	—	—	18	—	—	18	—	—
19	—	—	19	—	—	19	—	—	19	—	—
20	—	—	20	—	—	20	—	—	20	—	—
21	—	—	21	—	—	21	—	—	21	—	—
22	—	—	22	—	—	22	—	—	22	—	—
23	—	—	23	—	—	23	—	—	23	—	—
24	—	—	24	—	—	24	—	—	24	—	—
25	—	—	25	—	—	25	—	—	25	—	—

Таблица 4.3

Схема соединения промежуточного и оставшегося (третьего) четырехполюсника

Г	—	—	Г	—	—	Г	—	—	Г	—	—
и	—	—	и	—	—	и	—	—	и	—	—
жемн	—	—									
1	—	—	1	—	—	1	—	—	1	—	—
2	—	—	2	—	—	2	—	—	2	—	—
3	—	—	3	—	—	3	—	—	3	—	—
4	—	—	4	—	—	4	—	—	4	—	—
5	—	—	5	—	—	5	—	—	5	—	—
6	—	—	6	—	—	6	—	—	6	—	—
7	—	—	7	—	—	7	—	—	7	—	—
8	—	—	8	—	—	8	—	—	8	—	—
9	—	—	9	—	—	9	—	—	9	—	—
10	—	—	10	—	—	10	—	—	10	—	—
11	—	—	11	—	—	11	—	—	11	—	—
12	—	—	12	—	—	12	—	—	12	—	—
13	—	—	13	—	—	13	—	—	13	—	—
14	—	—	14	—	—	14	—	—	14	—	—
15	—	—	15	—	—	15	—	—	15	—	—
16	—	—	16	—	—	16	—	—	16	—	—
17	—	—	17	—	—	17	—	—	17	—	—
18	—	—	18	—	—	18	—	—	18	—	—
19	—	—	19	—	—	19	—	—	19	—	—
20	—	—	20	—	—	20	—	—	20	—	—
21	—	—	21	—	—	21	—	—	21	—	—
22	—	—	22	—	—	22	—	—	22	—	—
23	—	—	23	—	—	23	—	—	23	—	—
24	—	—	24	—	—	24	—	—	24	—	—
25	—	—	25	—	—	25	—	—	25	—	—

4.3. Определение напряжения холостого хода результирующего четырехполюсника.

4.4. Определение внутреннего сопротивления результирующего четырехполюсника.

4.5. Составление схемы генератора, эквивалентного результирующему четырехполюснику; определение максимальной мощности, отдаваемой им в нагрузку.

4.6. Требования к расчету.

4.6.1. При определении тока короткого замыкания и напряжения холостого хода рекомендуется воспользоваться ЭЗМ. Одну из величин спроецировать по методу контурных токов, другую - условиям напряжений.

Внутреннее сопротивление можно определить вручную либо па ЭЗМ.

4.6.2. По результатам расчета необходимо сделать проверку

$$R_g = U_{KX} / I_{KZ}$$

на постоянном токе или

$$Z_g = U_{KX} / I_{KZ}$$

на переменном, где R_g - активное внутреннее сопротивление; U_{KX} , I_{KZ} - постоянное напряжение холостого хода и ток короткого замыкания; Z_g - комплексное внутреннее сопротивление; U_{KX} , I_{KZ} - комплексные напряжение холостого хода и ток короткого замыкания.

РАСЧЕТНО-ГРАФИЧЕСКАЯ РАБОТА 5

ПЕРЕХОДНЫЕ ПРОЦЕССЫ В ЛИНЕЙНЫХ ЭЛЕКТРИЧЕСКИХ ЦЕРКАХ

Цель работы: освоение методов расчета переходных процессов на примере цепи третьего порядка. Исследуется процесс прохождения прямого полного импульса напряжения через линейный четырехполюсник тремя методами: классическим, операторным, переменных состояния.

Содержание работы:

5.1. Задание. Схемы четырехполюсников с нагрузочным реистором приведены на рис. 5.1. Импульс напряжения подается на вход четырехполюсника. Искомая величина - выходное напряжение.

Параметры элементов четырехполюсников во всех вариантах заданий принимаются одинаковыми

$$C_1 = 1 \text{ мкФ}, \quad C_2 = 2 \text{ мкФ}, \\ R_1 = 1 \text{ мкФ}, \quad R_2 = 2 \text{ мкФ}$$

Внутреннее сопротивление источника R_s (оно введено в состав четырехполюсника) и сопротивление нагрузки R_L для разных академических групп даны в табл. 5.1. Длительность импульса $T_m = 2 \text{ мс}$. Уровень импульса $U_m = 50$.

Таблица 5.1

Группа	1	2	3	4
R_s , ком	1.1	1.5	3	0.5
R_L , ком	1.2	6	14.5	0.8

Примечание. Переходный процесс в исследуемой цепи состоит из двух стадий. Начальные независимые условия на первой стадии переходного процесса - нулевые, т.к. четырехполюсник до подачи импульса был обесточен. Чтобы определить независимые начальные условия для второй стадии процесса, необходимо определить значения переменных состояния (токов в индуктивностях, напряжений на емкостях) в момент прохождения заднего фронта импульса. В таком случае потребуется два вынуждающих процесса: расчета переходного процесса на ЭЗМ. Поэтому здесь более удобно применение метода наложения. Он основан на представлении исходного импульса как суммы двух ступенчатых воздействий, причем

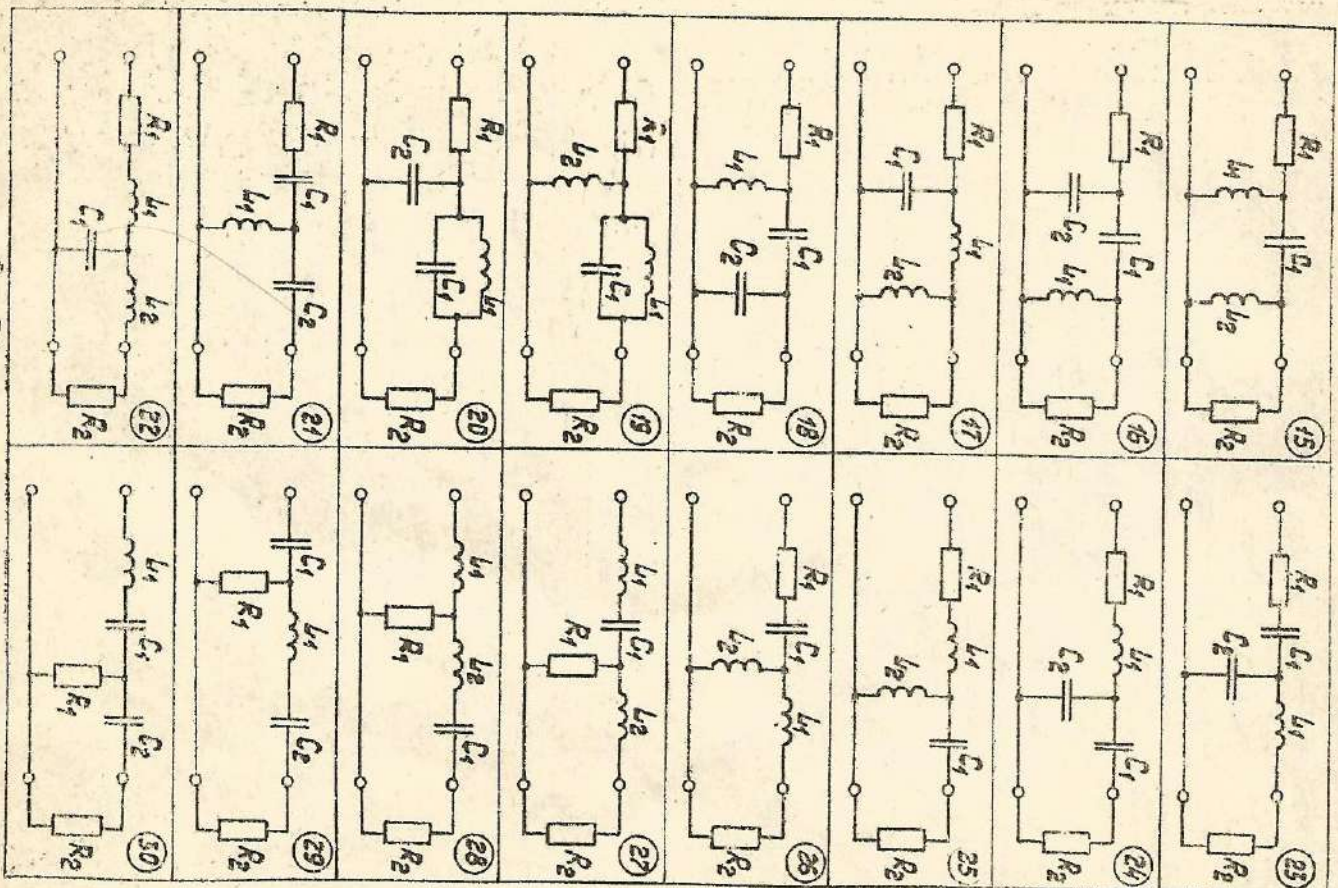
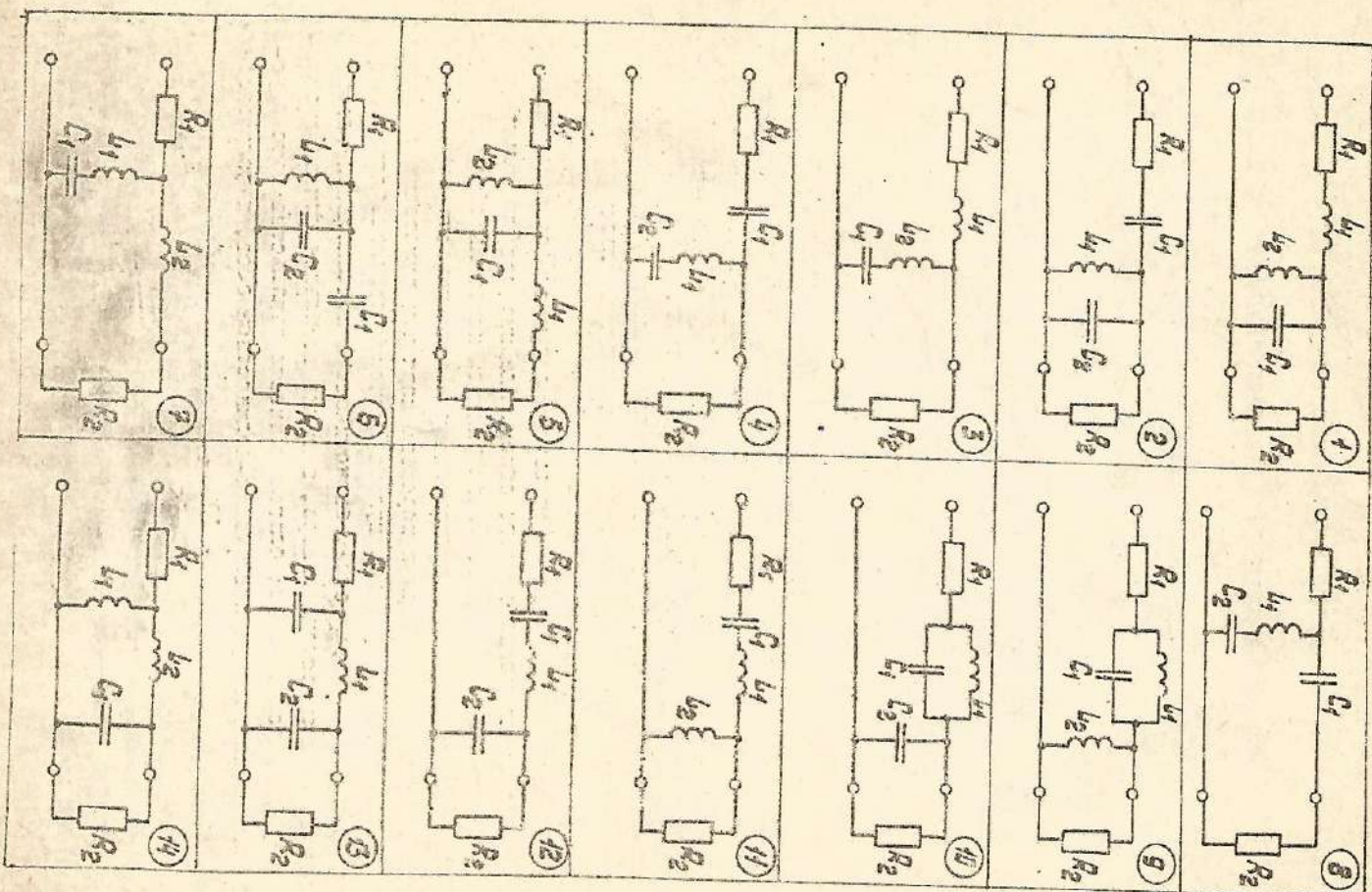


Fig. 51.

второе ступенчатое воздействие симметрично первому воздействию относительно оси времени и смешено на T_H (рис. 5.2). Поэтому реакция от второго воздействия на линейный четырехполюсник определяется как

$$\begin{aligned} \mathcal{U}_{\text{вых},2}(t) &\equiv 0, \quad t < T_H, \\ \mathcal{U}_{\text{вых},2}(t) &= -\mathcal{U}_{\text{вых},1}(t-T_H), \quad t > T_H, \end{aligned}$$

где $\mathcal{U}_{\text{вых},1}$ – выходная реакция четырехполюсника на первое ступенчатое воздействие. При этом

$$\mathcal{U}_{\text{вых}}(t) = \mathcal{U}_{\text{вых},1}(t) + \mathcal{U}_{\text{вых},2}(t).$$

5.2. Постановка данных для расчета на ЭВМ.

5.2.1. Определить установившееся значение искомого напряжения первой стадии переходного процесса на постоянном токе

$$\mathcal{U}_{\text{вых,уст}} = \mathcal{U}_{\text{вых, нач}},$$

5.2.2. Составить характеристическое уравнение цепи в виде

$$a_3\rho^3 + b_2\rho^2 + c\rho + d = 0$$

любым известным методом (входного сопротивления, методом главного определителя или другим).

5.2.3. Определить зависимые начальные условия $\mathcal{U}_{\text{вых}}(Q_4)$,

$$\left. \frac{d\mathcal{U}_{\text{вых}}}{dt} \right|_{t=Q_4}, \quad \left. \frac{d^2\mathcal{U}_{\text{вых}}}{dt^2} \right|_{t=Q_4},$$

для этого используется система уравнений цепи, записанная по законам Кирхгофа для мгновенных значений. Кроме того, необходимо учесть, что начальные независимые условия были нулевыми.

Операторный метод.

5.2.4. Принять установленное значение искомой величины и начальные независимые условия согласно п.п. 5.2.1, 5.2.3 классического метода.

5.2.5. Рассчитать значения переменных состояния в установившемся режиме от действия первого ступенчатого воздействия

5.2.6. Определить начальные независимые условия для свободного режима переходного процесса

$$\dot{\mathcal{U}}_{\text{вых}}(Q_4) = \dot{\mathcal{U}}_L(Q_4) - \dot{\mathcal{U}}_{\text{вых, нач}},$$

$$\mathcal{U}_{\text{вых}}(Q_4) = \mathcal{U}_0(Q_4) - \mathcal{U}_{\text{вых, нач}}.$$

5.2.7. Составить операторную схему замещения четырехполюсника для свободного режима и определить изображение искомой свободной составляющей напряжения в следующей канонической форме

$$\tilde{E}_{bb}(j\omega) = \frac{a_3\rho^3 + a_2\rho^2 + a_1\rho + a_0}{b_3\rho^3 + b_2\rho^2 + b_1\rho + b_0},$$

где a'_i, b'_i – постоянные коэффициенты.

5.2.8. Составить систему уравнений относительно переменных состояния в матричном виде

$$[\dot{\mathbf{X}}] = [\mathbf{L}][\mathbf{X}] + [\mathbf{M}][\mathbf{E}], \quad (5.1)$$

где $[\mathbf{X}], [\dot{\mathbf{X}}]$ – вектор-столбы переменных состояния и их производных размерности $j = 3$ (число переменных состояния); $[\mathbf{L}]$ – квадратная матрица 3-го порядка; $[\mathbf{M}]$ – прямоугольная матрица размерности $j \times q$, где q – общее число источников ЭДС и тока (в данном случае $q = 1$); $[\mathbf{E}]$ – вектор-столбец напряжений источников ЭДС и токов источников тока. Элементы матриц $[\mathbf{L}]$ и $[\mathbf{M}]$ определяются только параметрами четырехполюсника и его топологией.

Примечание: 1). При составлении системы (5.1) можно воспользоваться системой уравнений четырехполюсника, составленной по законам Жиргода по п. 5.2.3 классического метода или методом наложения.

2) Вектор-столбец переменных состояния для $t = Q_4$ принимается согласно пункту 5.2.3.

5.2.9. Составить уравнение связи переменных состояния и искомого напряжения

$$\mathcal{U}_{\text{вых},1}' = [\mathbf{W}][\mathbf{X}] + [\mathbf{Z}][\mathbf{E}], \quad (5.2)$$

где $[\mathbf{W}]$ и $[\mathbf{Z}]$ – топологические матрицы размерности $m \times j$ и $m \times q$, m – число выходных переменных (в нашем случае $m = 1$).

5.3. Выполнение работы на ЭВМ.

Вызвать требуемую программу расчета переходных процессов и ввести необходимые данные. По окончании расчетов зафиксировать полученные результаты и сравнить их между собой.

ПРИМЕР: Рассчитать переходный процесс прохождения прямогочного импульса амплитудой 5В длительностью $T_H = 2mC$ через линейный четырехполюсник (рис. 5.3).

$u(t)$

U_H

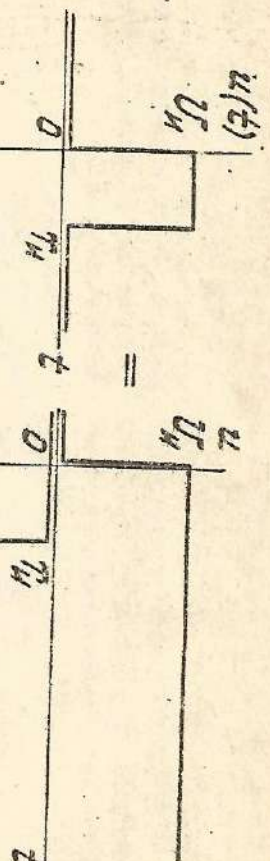


Рис. 5.2.

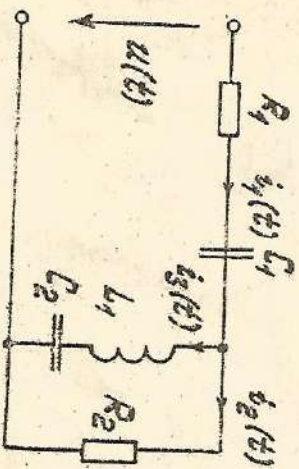
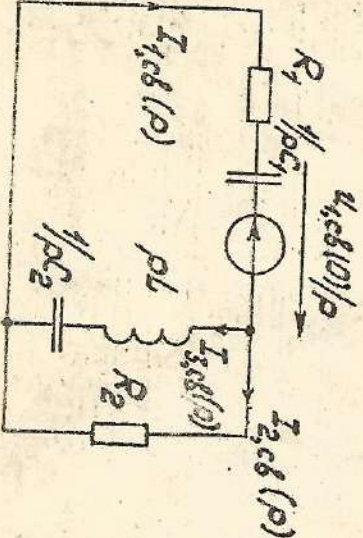


Рис. 5.3.



$$L = 1 \text{ ГН} \\ C = 1 \text{ мкФ} \\ L_1 = 2 \text{ мкГ} \\ R_1 = 3 \text{ кОм} \\ R_2 = 15 \text{ кОм}$$

Подготовка данных для расчета

1) Классический метод

В схеме замещения четырехполюсника для установленвшегося режима от действия первой ступенчатой функции $e(t) = E = 5 \text{ В}$ (рис. 5.2) определим установившееся значение искомого напряжения $U_{2,ст}$. Методом входного сопротивления составим характеристическое уравнение

$$Z_{bx}(\rho) = R_1 + \frac{1}{\rho C_1} + \frac{1}{\rho L_1 + 1/(C_2 + R_2)},$$

что приводит (после подстановки числовых значений) к кубическому уравнению

$$\alpha_3 \rho^3 + \alpha_2 \rho^2 + \alpha_1 \rho + \alpha_0 = 0, \\ \text{где } \alpha_3 = 9 \cdot 10^{-9}, \alpha_2 = 11 \cdot 10^{-6}, \alpha_1 = 2,5 \cdot 10^{-3}, \alpha_0 = 1.$$

Начальные независимые условия - нулевые:

$$u_{21}(0) = 0; u_{22}(0) = 0; i_{21}(0) = i_3(0) = 0.$$

Для определения начальных зависимых условий

$$u_2(0_+); u_2'(0_+) = \left. \frac{d u_2}{dt} \right|_{t=0_+} = 0_+; u_2''(0_+) = \left. \frac{d^2 u_2}{dt^2} \right|_{t=0_+} = 0_+, \\ \text{составим систему уравнений по законам Kirchofa для момента времени } t = 0_+$$

$$\begin{cases} i_1'(0_+) - i_2(0_+) - i_3(0_+) = 0; \\ L i_1'(0_+) + u_{22}(0_+) - R_2 i_2(0_+) = 0; \\ R_1 i_1'(0_+) + u_{21}(0_+) + R_2 i_2(0_+) = E. \end{cases} \quad (5.4)$$

Система (5.4) и условия (5.3) позволяют определить любые токи и напряжения для $t = 0_+$. В частности, $u_2(0_+) = 1,666$ дифференцируя необходимые уравнения из системы (5.3), и, используя уравнения связи между токами и напряжениями в емкостях и индуктивностях

$$u_2'(0_+) = L i_1'(0_+); i_2'(0_+) = C \frac{du_2}{dt}(0_+),$$

находим оставшиеся зависимые условия:

$$u_2'(0_+) = -2037,037 \text{ В}; \quad u_2'' = 1,934 \cdot 10^6 \text{ В/с}^2.$$

Рис. 5.4.

2) Операторный метод

Составим операторную схему замещения для свободного режима (рис. 5.4), в которой

$$U_{C_1, \text{уст}} = 5B, \quad u_{C_1, \text{об}}(0) = u_C(0) - U_{C_1, \text{уст}}(0) = -5B;$$

$$U_{C_2, \text{уст}} = 0, \quad u_{C_2, \text{об}}(0) = u_C(0) - U_{C_2, \text{уст}}(0) = 0B.$$

Найдем изображение искомого напряжения $U_{C_2, \text{об}}(\rho)$. Например, с помощью метода узловых потенциалов (за нулевой прием потенциал нижнего узла схемы)

$$\mathcal{Y}(\rho) / (R_2 + 1/(R_1 + \rho C_1)) + 1/(R_1 + \rho C_2) = (1/\rho) / (R_1 + 1/\rho C_1),$$

$$U_{C_2, \text{об}}(\rho) = \mathcal{Y}(\rho) = R_1(\rho) / R_2(\rho).$$

$$R_1(\rho) = \alpha_2 \rho^2 + \alpha_1 \rho + \alpha_0,$$

$$R_2(\rho) = \beta_3 \rho^3 + \beta_2 \rho^2 + \beta_1 \rho + \beta_0,$$

где

$$\alpha_2 = 15 \cdot 10^{-9}; \quad \alpha_1 = 0; \quad \alpha_0 = 7,5 \cdot 10^{-5}; \\ \beta_3 = 9 \cdot 10^{-9}; \quad \beta_2 = 11 \cdot 10^{-8}; \quad \beta_1 = 7,5 \cdot 10^{-3}; \quad \beta_0 = 1.$$

3) Метод переменных состояния

Из системы уравнений линий по законам Кирхгофа (рис. 5.3) для произвольного момента времени получим систему уравнений относительно переменных состояния $[X] = [i_3(t); u_{C_1}(t); u_{C_2}(t)]^T$

$$\begin{cases} i'_3(t) = (-R_1 R_2 / (R_1 + R_2)) i_3(t) - (R_2 / (R_1 + R_2)) u_{C_1}(t) - (1/R_1) u_{C_2}(t) + \\ + (R_2 / ((R_1 + R_2) C_1)) E; \\ u'_1(t) = (R_2 / ((R_1 + R_2) C_1)) i_3(t) - (1 / ((R_1 + R_2) C_1)) u_{C_1}(t) + (1 / ((R_1 + R_2) C_1)) E; \\ u'_2(t) = (1/C_2) i_3(t) + E \end{cases}$$

или в матричной форме $\dot{[X]} = [L][X] + [M][E_j]$, где

$$\boxed{\begin{array}{|c|c|} \hline & -10 \\ \hline -10^3 & -0,333 \\ \hline \end{array}}$$

$$\boxed{\begin{array}{|c|c|} \hline & 0,333 \\ \hline 0,333 & \\ \hline \end{array}}$$

$$\boxed{\begin{array}{|c|c|} \hline & 0 \\ \hline 0 & \\ \hline \end{array}}$$

$$[L] = \boxed{\begin{array}{|c|c|} \hline -3,333 \cdot 10^5 & -2,222 \cdot 10^1; \\ \hline 1 \cdot 10^5 & 0 \\ \hline \end{array}}, \quad [M] = \boxed{\begin{array}{|c|c|} \hline 0,222 \cdot 10^3; & [E_j] = 5. \end{array}}$$

Иной способ формирования системы уравнений (5.1) состоит в применении метода наложения, для чего предварительно (в соответствии с принципом компенсации) емкости заменяются источниками ЭДС, а индуктивности - источниками тока (рис. 5.5). В схемах рис. 5.6 а, б, в, г определяются величины, пропорциональные $i'_1 = i'_3$ (это $u'_1 = L i'_1$) и u'_2 (это $i'_2 = C u'_2$), а затем составляются системы уравнений типа (5.1) и (5.2).

$$\begin{cases} u'_1 = -(R_1 R_2 / (R_1 + R_2)) i_3 + (-R_2 / (R_1 + R_2)) u_{C_1} + (-1) u_{C_2} + (R_2 / (R_1 + R_2)) E; \\ i'_1 = (R_2 / (R_1 + R_2)) i'_3 + (-1 / (R_1 + R_2)) u_{C_1} + 0 u_{C_2} + (1 / (R_1 + R_2)) E; \\ u'_2 = 1 \cdot i'_2 + 0 \cdot u_{C_1} + 0 \cdot u_{C_2} + (R_2 / (R_1 + R_2)) E. \end{cases}$$

Составим уравнение связи

$$u'_{\text{ист}, 1}(t) = -((R_1 R_2) / (R_1 + R_2)) i'_3 + (-R_2 / (R_1 + R_2)) u_{C_1} + 0 \cdot u_{C_2} + (R_2 / (R_1 + R_2)) E.$$

Перейдем к матричной форме

$$\boxed{\begin{array}{|c|c|} \hline & -10 \\ \hline -0,333 & : [E_j] = 5; [Z] = 0,333. \\ \hline 0 & \\ \hline \end{array}}$$

СВОЙСТВА РЕЗУЛЬТАТОВ

а) выражение выходного напряжения:

$$x(t) = u_2(t) = 1,74552 \cdot e^{-169,71 \cdot t} + (-0,07885 \cos 644,627 t - 2,8998 \sin 644,627 t) e^{-526,256 t}.$$

- операторный метод

$$x(t) = u_2(t) = 1,74552 e^{-169,71 \cdot t} + (-0,078935 \cos 644,627 t - 2,8998 \sin 644,627 t) e^{-526,256 t}.$$

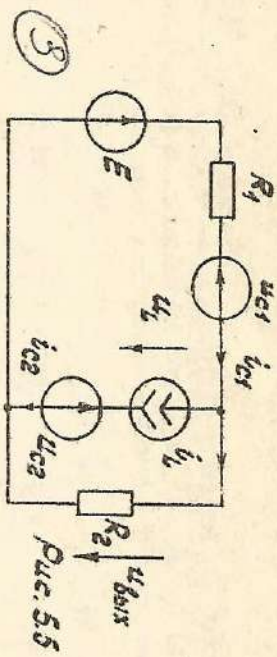


Рис. 5.5

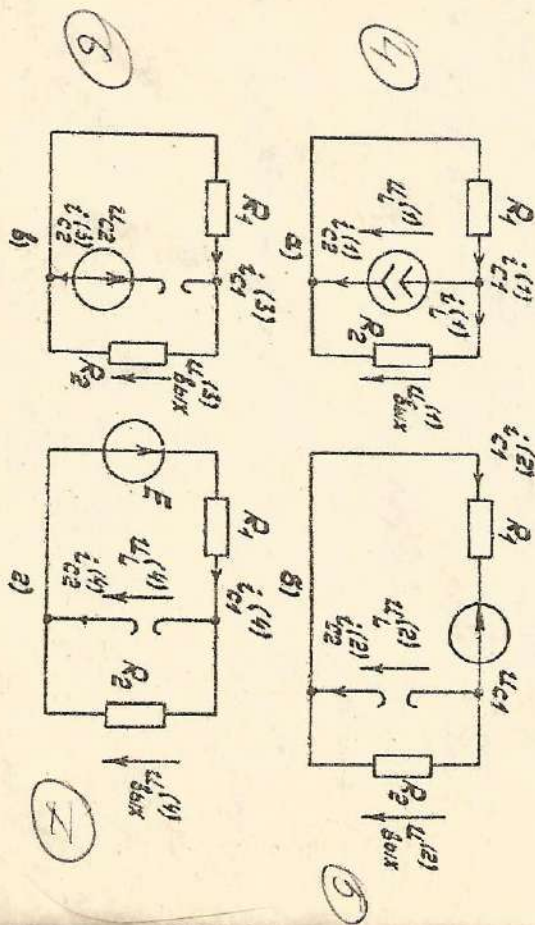


Рис. 5.6.

График выходного напряжения

- - - - - реакция выходного напряжения от действия first скакка $\dot{U}_1(t)$;
- - - - - реакция от действия 2-го скакка $\dot{U}_2(t) = 2 \cdot 10^{-3}$
- - - - - суммарное выходное напряжение



Рис. 5.7.

5) таблица значений выходного напряжения

$t, \mu\text{s}$	Классический метод	Операторный метод	Метод переменных состояния
0	1.667	1.667	1.667
1	0.4470	0.4471	0.44706
2	0.2802	0.2802	0.2802
3	0.4776	0.4777	0.47765
4	0.6688	0.6688	0.66982
5	0.7385	0.7386	0.73857
6	0.6974	0.6975	0.69748
7	0.5997	0.5997	0.59974
8	0.4910	0.4910	0.49098
9	0.3958	0.3958	0.39583
10	0.3214	0.3215	0.32146
11	0.2656	0.2656	0.26560
12	0.2230	0.2230	0.22305
13	0.1891	0.1892	0.18916
14	0.1609	0.1609	0.16091
15	0.1367	0.1367	0.13670
16	0.1158	0.1158	0.11580
17	0.09782	0.09782	0.097821
18	0.08249	0.08250	0.082498
19	0.06953	0.06953	0.069533
20	0.05861	0.05861	0.058614

Выражение выходного напряжения и его таблица даны без учета того, что через 2 мс импульс исчез. График выходного напряжения приведен на рис. 5.7.

РАСЧЕТНО-ГРАФИЧЕСКАЯ РАБОТА 6

АНАЛИЗ ПРОЦЕССОВ В ЦЕПИ С НЕЛИНЕЙНЫМ РЕАКТИВНЫМ ЭЛЕМЕНТОМ

Цель работы - освоение метода сопряжения интервалов, выполнение расчета цепи с кусочно-линейным реактивным элементом.

Содержание работы

В работе для каждого варианта схем (рис. 6.1) выполняются расчеты установленных режимов и переходного процесса в цепи постоянного тока с одним реактивным нелинейным элементом (НЭ), имеющим симметричную кусочно-линейную характеристику. Характеристика НЭ для первого квадранта (положительная ветвь) приведена на рис. 6.2. Параметры точек перегиба для различных вариантов даны в табл. 6.1.

6.1. Подготовка данных

6.1.1. Построить в удобном масштабе характеристику НЭ (постоянную и отрицательную ветви).

6.1.2. Определить уравнения линейных участков в виде

$$\frac{U_2}{I_2} = \alpha_{\pi} I_2 + b_{\pi}, \quad (6.1)$$

где $\alpha_{\pi} = dU_{\pi}/dI_{\pi}$ - дифференциальный параметр НЭ на линейных участках, π - номер участка.

6.1.3. Методом эквивалентного генератора (нагрузка - нелинейный элемент) привести сложную цепь в установленных режимах до коммутации и после коммутации к одноконтурной цепи (свойится к определению $R_{экв}$ и $E_{экв}$).

6.1.4. Определить начальную и конечную координаты рабочей точки на характеристике НЭ (т. е. стационарное состояние НЭ до и после коммутации). Координаты начальной точки служат начальными условиями $i_2(0)$ или $U_2(0)$ для расчета переходного процесса.

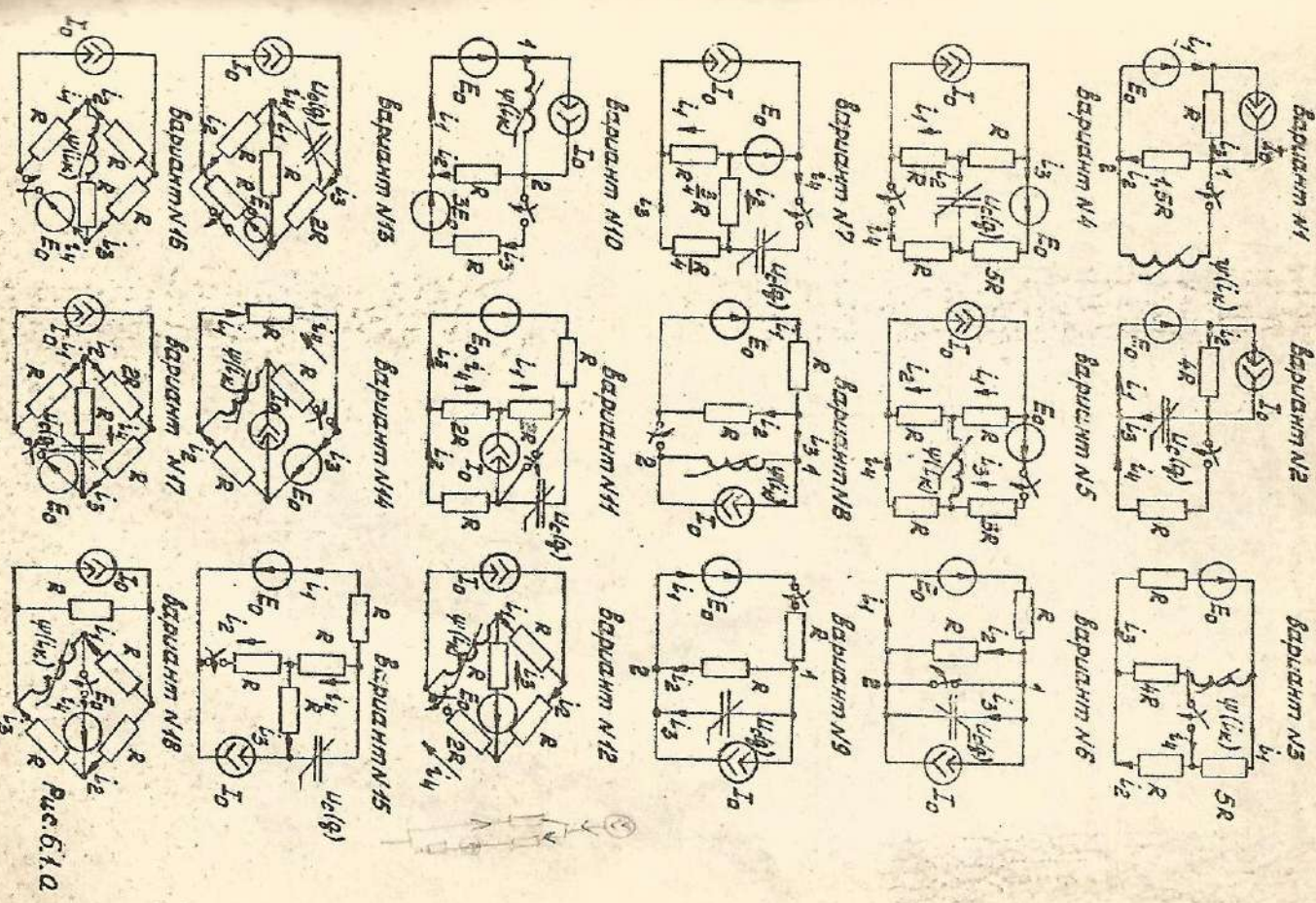
6.1.5. По законам Кирхгофа определить установленное значение искомой величины $U_{2(t)}$ после коммутации.

6.1.6. На основе законов Кирхгофа для заданной схемы составить уравнение, описывающее связь между искомой величиной $x(t)$ и переменной состояния ($U_2(t)$ или $i_2(t)$) в следующей форме

$$x(t) = d_1 i_2(t) + d_2, \quad \text{или} \quad x(t) = d_1 U_2(t) + d_2,$$

где d_1, d_2 - постоянные коэффициенты.

6.1.7. Составить для одно- и другой схемы после коммутации характеристическое уравнение в виде



вариант №19

вариант №20

вариант №21

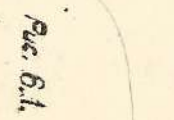
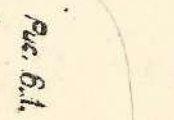
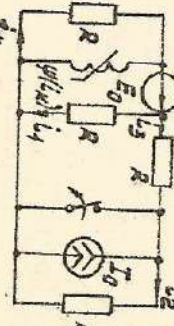
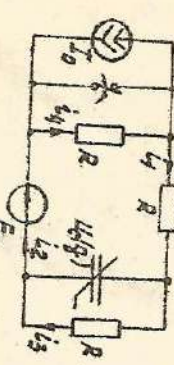
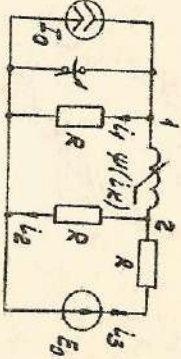
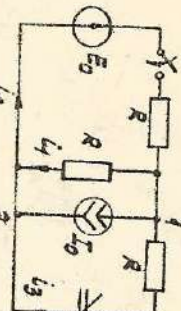
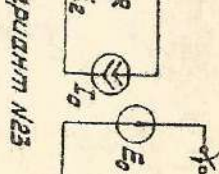
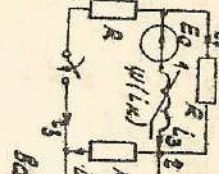
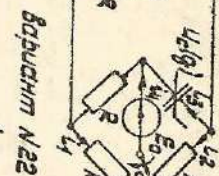


Рис. 6.2.

Рис. 6.1.

ПАРАМЕТРЫ ЭЛЕМЕНТОВ СХЕМЫ ДЕПИ

Таблица 6.1.

N п/п	E ₀ В	I ₀ mA	R кОм	Хар. НЭ	Координаты точек (φ-Вб, i-А, q-Кл, u-В)				Искомая величина						
					ψ	а	τ	b	c	1	2	3	4		
1	50	1000	0.02	ψ(1)	0.01	0.25	0.02	0.75	0.2576	1.75	i ₁	i ₂	i ₃	U ₁₂	
2	120	1000	0.02	q(u _c)	0.005	20	0.01	80	0.11	120	i ₁	i ₂	i ₃	i ₄	
3	60	-	0.15	ψ(1)	0.006	0.08	0.009	0.2	0.01	0.01	i ₁	i ₂	i ₃	i ₄	
4	12	300	0.10	q(u _c)	0.0005	10	0.001	30	0.0012	55	i ₁	i ₂	i ₃	i ₄	
5	200	600	0.10	ψ(1)	0.025	0.1	0.035	0.5	0.04	1.0	i ₁	i ₂	i ₃	i ₄	
6	60	60	0.4	0.02	q(u _c)	0.0004	5	0.0008	15	0.001	35	i ₁	i ₂	i ₃	U ₁₂
7	60	200	0.30	q(u _c)	0.0004	10	0.0008	30	0.001	70	i ₁	i ₂	i ₃	i ₄	
8	50	30	0.40	ψ(1)	0.5	0.02	0.9	0.06	1.1	0.1	i ₁	i ₂	i ₃	U ₁₂	
9	100	200	0.10	q(u _c)	0.0004	5	0.0008	25	0.001	45	i ₁	i ₂	i ₃	U ₁₂	
10	50	1200	0.05	ψ(1)	0.02	0.4	0.036	1.2	0.044	2	i ₁	i ₂	i ₃	U ₁₂	
11	50	1000	0.05	q(u _c)	0.02	10	0.04	30	0.05	70	i ₁	i ₂	i ₃	i ₄	
12	150	300	0.10	ψ(1)	0.01	0.06	0.018	0.14	0.024	0.26	i ₁	i ₂	i ₃	i ₄	
13	120	100	0.20	q(u _c)	0.008	8	0.015	24	0.02	40	i ₁	i ₂	i ₃	i ₄	
14	150	30	1.00	ψ(1)	0.0006	0.01	0.001	0.22	0.0011	0.032	i ₁	i ₂	i ₃	i ₄	
15	150	30	1.00	q(u _c)	0.0024	12	0.004	28	0.0048	44	i ₁	i ₂	i ₃	i ₄	
16	45	35	1.00	ψ(1)	0.0006	0.004	0.0009	0.01	0.0011	0.02	i ₁	i ₂	i ₃	i ₄	
17	60	40	1.00	q(u _c)	0.0024	12	0.0036	28	0.0044	52	i ₁	i ₂	i ₃	i ₄	
18	180	300	1.00	ψ(1)	0.006	30	0.014	0.05	0.018	0.13	i ₁	i ₂	i ₃	i ₄	
19	300	300	1.00	q(u _c)	0.0007	50	0.0009	120	0.001	200	i ₁	i ₂	i ₃	i ₄	
20	50	100	1.00	ψ(1)	0.002	0.01	0.0036	0.03	0.005	0.09	i ₁	i ₂	i ₃	i ₄	
21	60	10	1.00	q(u _c)	0.05	0.002	0.09	0.006	0.1	0.011	i ₁	i ₂	i ₃	i ₄	
22	60	20	0.50	q(u _c)	0.005	4	0.0058	12	0.012	22	i ₁	i ₂	i ₃	i ₄	
23	30	45	1.00	ψ(1)	0.01	0.004	0.018	0.012	0.022	0.022	i ₁	i ₂	i ₃	i ₄	
24	30	100	1.00	q(u _c)	0.006	4	0.01	12	0.014	22	i ₁	i ₂	i ₃	i ₄	
25	36	36	220	0.60	ψ(1)	0.001	0.016	0.002	0.024	0.0024	0.0567	i ₁	i ₂	i ₃	i ₄

$$\pi_{\alpha \beta} \rho + g = 0,$$

где π и g - постоянные коэффициенты, которые необходимо вычислить.

6.2. Расчет на ЭВМ

Вызвать программу расчета переходного процесса в нелинейной цепи.

Ввести: число участков НЭ, постоянные коэффициенты характеристического уравнения π и g , установившееся значение искомой величины $U_{c(t)}$, коэффициенты a_1 и a_2 , независимое начальное условие $U_c(0)$ или $i_c(0)$, а затем последовательно абсциссу и ординату сначала одной, а затем другой граничных точек начального участка.

ЭВМ вычисляет постоянную интегрирования в общем решении уравнения цепи, момент окончания начального участка и выводит искомую функцию $x(t)$, а также момент окончания начального участка. Вводятся абсцисса и ордината следующей точки НЭ и процесс повторяется. На последнем участке переходный процесс рассчитывается вплоть до момента $3T$, T - постоянная дели (за время $3T$ - свободная составляющая затухает примерно в 20 раз).

6.3. Оформление результатов

Пояснительная записка к типовому расчету должна содержать:

- Задание на выполнение типового расчета.
- Описание этапов расчета переходного процесса.
- Общий график переходного процесса.

График должен быть оформлен в соответствии с существующими правилами (указание равномерных масштабных делений и величин на осях, четкая пристановка точек и т. д.).

На графике должны быть указаны моменты сопряжения интервалов. Продолжительность графика должна быть достаточной для определения по нему времени установления переходного процесса.

ПРИМЕР. Выполнить расчет установившегося и переходного процессов в цепи постоянного тока с одной нелинейной емкостью (рис. 6.3), имеющей симметричную куск-ю-линейную характеристику (рис. 6.4). Определено подлежит ток $i_3(t)$.

1. Определим уравнения линейных участков емкости, подставив в выражение (6.1) координаты точек характеристики НЭ на соответствующем участке.

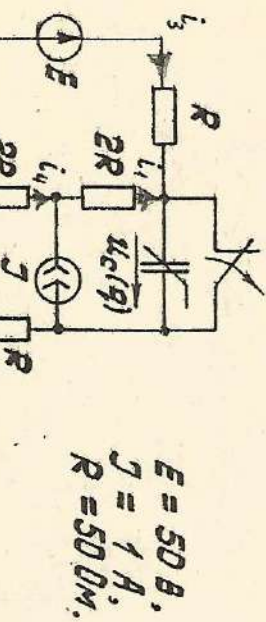


Рис. 6.3.

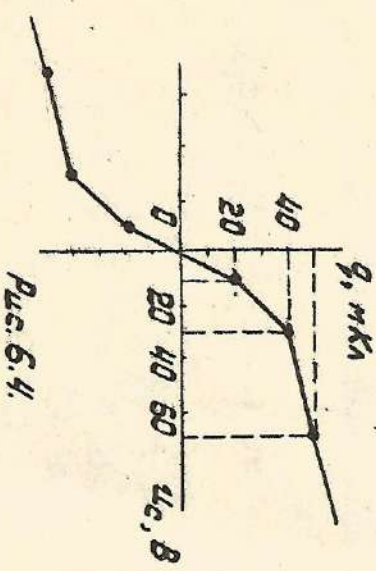


Рис. 6.4.

1-й участок

$$\begin{cases} q_1(-20) = a_1(-20) + b_1 = -50 \\ q_1(-30) = a_1(-10) + b_1 = -40 \end{cases}$$

откуда следует $a_1 = 0,025 mki/B$, $b_1 = -32,5 mki$, $q_1(u_c) = 2u_c$. Аналогично находим уравнения для других участков:

2-й участок

$$q_2(u_c) = u_c - 10; \quad a_2 = 1; \quad b_2 = -10;$$

3-й участок

$$q_3(u_c) = 2u_c; \quad a_3 = 2; \quad b_3 = 0;$$

4-й участок

$$q_4(u_c) = u_c + 10; \quad a_4 = 1; \quad b_4 = 10;$$

5-й участок

$$q_5(u_c) = 0,25u_c + 32,5; \quad a_5 = 0,25; \quad b_5 = 32,5.$$

2. Используя метод эквивалентного генератора относительно ненесной емкости, упростим исходную цепь (рис. 6.4).

$$R_{экб} = R + 4R^2/(4R + R) = 90 \Omega,$$

где U_{ab} - определяется любым удобным способом.

3. Определим координаты начальной и конечной рабочих точек на характеристике из схем для установившегося режима до и после коммутации

$$u_c(0) = 0 \quad (\text{емкость закорочена}), \quad U_{чтм}(t) = U_{ab} = 110 \text{ В}.$$

4. На основе уравнений Кирхгофа в цепи (рис. 6.3)

$$\begin{cases} Ri_3(t) - 2Ri_1(t) - 2Ri_4(t) = E; \\ 2Ri_1(t) + 2Ri_4(t) + Ri_2(t) + u_c(t) = 0; \\ i_1(t) - i_4(t) = J; \\ i_2(t) - i_3(t) - i_4(t) = 0 \end{cases}$$

составим (например, методом исключения Гаусса) уравнение связи между

исходной величиной $i_3(t)$ и переменной состояния $u_c(t)$

$$i_3(t) = a_1 u_c(t) + a_2,$$

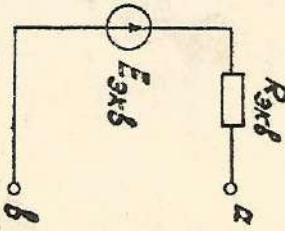
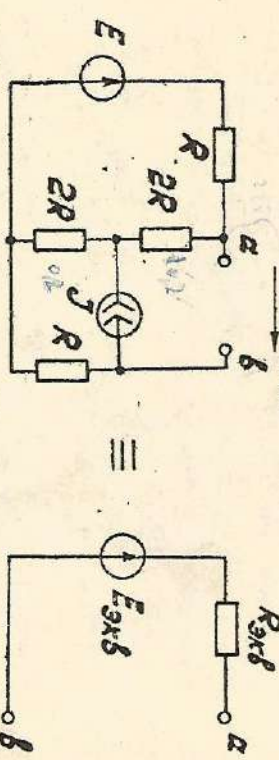
где $a_1 = -0,025$, $a_2 = 0,778$ - вычисляемые константы

5. Составим характеристическое уравнение цепи, учитывая, что $a_n = dq/du_c = \Delta q/\Delta u$ - дифференциальный параметр ненесной емкости на n -м линейном участке

$$R_{экб} + 1/\rho a_n = 0 \quad \text{или} \quad R_{экб} \rho a_n + 1 = 0,$$

откуда следует, что $\lambda = R_{экб} = 90$, $\varrho = 1$. График процесса, рассчитанного на ЭМ, приведен на рис. 6.6.

$$U_{ab} = E_{экб}$$



$$i_1(t), A$$

$$0,778$$

$$0,629$$

$$0,511$$

$$0,422$$

$$0,344$$

$$0,272$$

$$0,203$$

$$0,136$$

$$0,072$$

$$0,022$$

$$-0,2$$

$$E_{экб}$$

$$u_c(t)$$

$$R_{экб}$$

Рис. 6.6.

РАСЧЕТНО-ГРАФИЧЕСКАЯ РАБОТА 7

ПЕРЕХОДНЫЙ ПРОЦЕСС В ЛИНИИ

Цель расчета - освоение волнового метода анализа переходных процессов в цепях с распределенными параметрами.

7.1. Содержание работы - определение волн тока и напряжения, возникающих при коммутации, а также действие отражения от неоднородности или прохождения через неоднородность; применение метода наложения для определения электрических величин, построение их графиков.

Требуется определить все волны напряжения и тока, возникшие в линии к указанному в задании моменту времени τ , записать уравнения этих волн в виде функций

$U_{\text{вс}}(x, \tau)$, $i_{\text{вс}}(x, \tau)$, $i_{\text{вс}}(x, t')$, $i_{\text{обс}}(x, \tau)$, $i_{\text{обс}}(x, t')$,

построить друг под другом графики волн напряжения и реальную токовую

$$U(x, \tau) = U_{\text{вс}}(x, \tau) + \sum U_{\text{обс}}(x, \tau) + \sum U_{\text{вс}}(x, t') + \sum U_{\text{обс}}(x, t'),$$

а также график тока

$$i(x, \tau) = i_{\text{вс}}(x, \tau) + \sum i_{\text{вс}}(x, t') - \sum i_{\text{обс}}(x, t').$$

7.2. Указания.

7.2.1. Цепь (рис. 7.1) содержит две одинаковые линии без по-

терь, у которых даны

R_y - волновое сопротивление,

t' - время пробега волны вдоль одной линии, исходного напряжения

U - поглощенного к первой линии, последовательно или через соединительный элемент.

7.2.2. Коммутация совершается в месте соединения линий в момент времени $t = 0$.

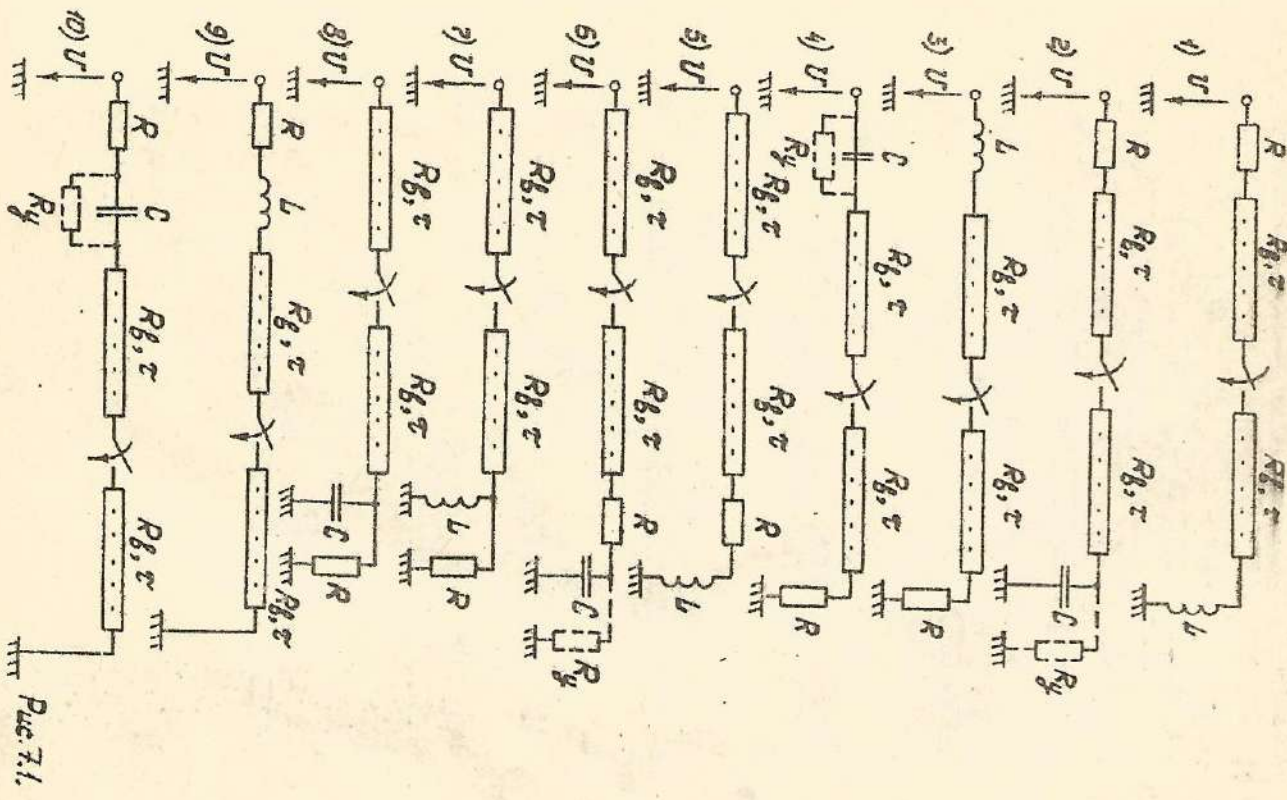
7.2.3. В каждой схеме находятся два сопроточенных элемента (сопротивление, индуктивность или ѹ-коэффициент), влияющих на протекание переходного процесса.

7.2.4. В некоторых схемах пунктиром указано сопротивление утеч-

ки конденсатора R_y , величина которого неизвестна, больше

7.3. Данные к расчету. Величины U , R_y , t , R , L

каждой элементической группе приводятся следующими



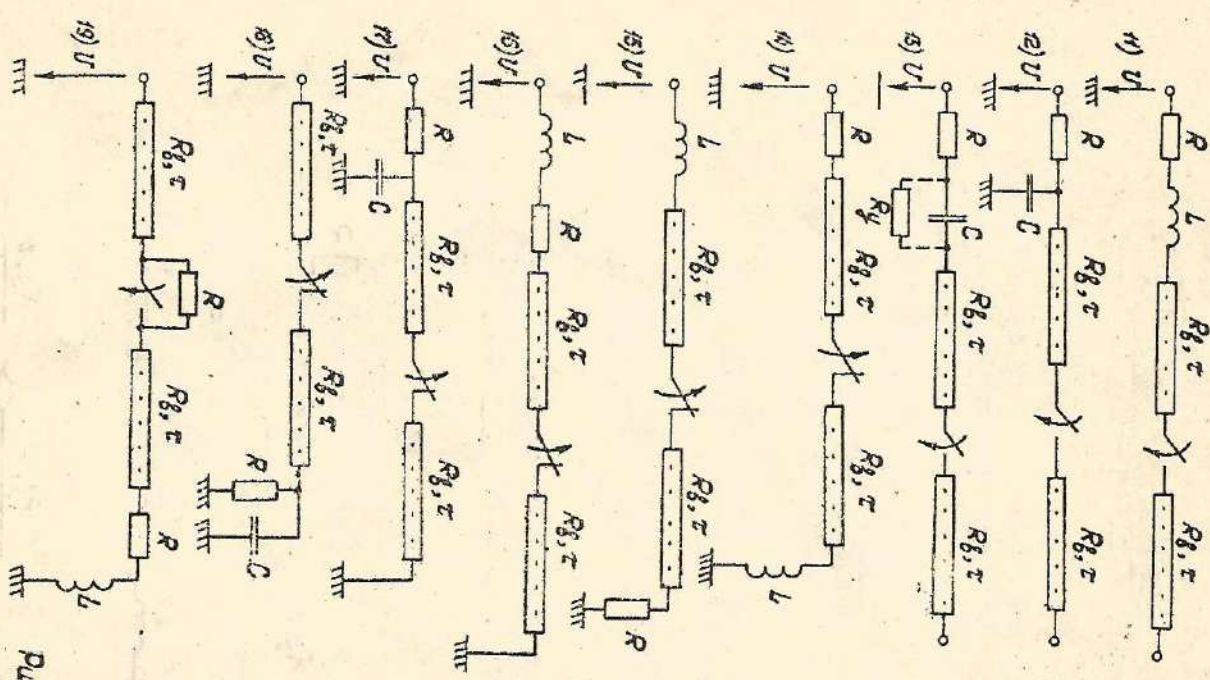


FIG. 7.1.

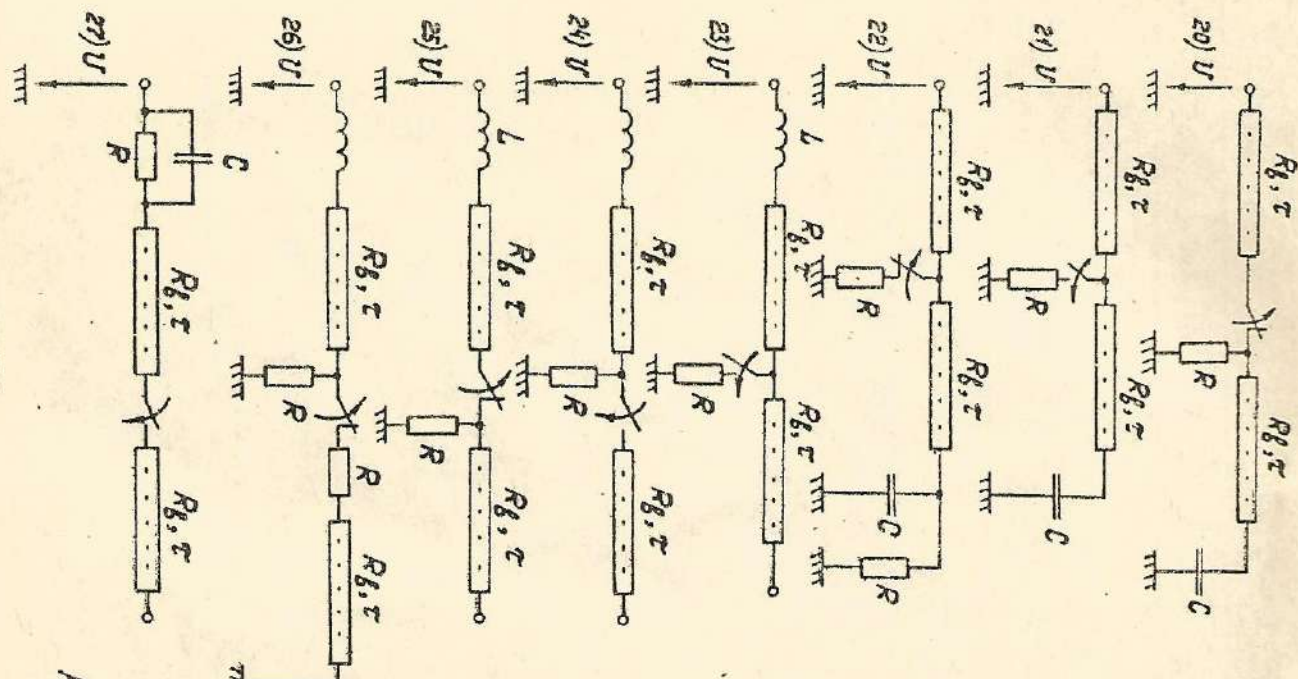


FIG. 7.1.

Группа	\mathcal{V} , В	R_f , кОм	τ , мс	R , кОм	L , Гн	C , мкФ
1	30	1	0,50	2,0	1,00	0,22
2	15	1	0,75	3,0	1,25	0,27
3	5	1	1,00	4,0	1,50	0,33
4	10	1	0,40	0,5	0,60	0,39

Момент времени τ , для которого должно быть построено распределение напряжений и токов вдоль линии, задается в лоях от времени $\tau/2$. Ниже приведены значения $\tau/2$.

Группа	1	2	3	4
$\tau/2$	4,2	4,4	4,5	4,8

ПРИМЕР:

$$\text{Дано: } \mathcal{V} = 30 \text{ В; } R_f = 1 \text{ кОм; } \tau = 0,5 \text{ мс;}$$

Для момента времени $\tau = 1,00 \text{ лн}$.
и токов вдоль линии схема изображена на рис. 7.2.

РЕШЕНИЕ. 1. Расчет предшествующего режима. Первая линия была заряжена до напряжения \mathcal{V} , вторая не заряжена; токи в линиях не протекали;

$$i_{\text{рабоч},1} = 0; \quad i_{\text{рабоч},2} = 0;$$

2. Для расчета первых волн, возникавших в месте замыкания щитов, определим напряжение на щитах

$$U_{\text{щит}} = \mathcal{V} = 30 \text{ В}$$

и воспользуемся схемой замещения по рис. 7.3. Из рис. 7.3 видно, что вторая линия побежит прямой волны напряжения

$$U'_{2\text{щит}} = U_{\text{щит}} = \mathcal{V} = 30 \text{ В}$$

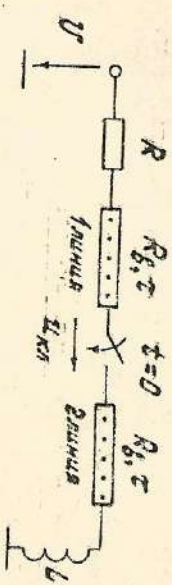


Рис. 7.3.

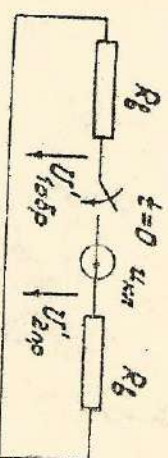


Рис. 7.4.

и тока

$$i'_{2050} = \frac{u'_{2050}}{R_B} = \frac{U}{R_B} = 30 \text{ mA},$$

а в первой - обратная

$$U'_{1050} = -U_{K1} = -U = -30 \text{ В}$$

и тока

$$i'_{1050} = -\frac{u_{K1}}{R_B} = -30 \text{ mA}.$$

3. Через время τ первые волны "дойдут", соответственно, до конца второй линии, и по началу первой линии. Для расчета отражения волн воспользуемся понятием о коэффициентах отражения

$$N(\rho) = U_{0\text{тп}}(\rho) / U_{0\text{наг}}(\rho), \quad \rho_L = R_B \\ \text{Для линии 2} \quad U_{0\text{наг}}(\rho) = U_{1050}^0, \quad N(\rho) = \frac{\rho_L - R_B}{\rho_L + R_B} = \frac{\rho - R_B}{\rho + R_B} = \frac{R_B/\rho - 1}{1 + R_B/\rho},$$

$$U'_{2050}(\rho) = U'_{2050\text{тп}}(\rho) = \frac{U}{\rho} \cdot \frac{\rho_L - R_B}{\rho_L + R_B} = \frac{U}{\rho} \cdot \frac{R_B/\rho - 1}{1 + R_B/\rho},$$

$$\text{Однако же} \\ u'_{2050}(t') = -\frac{R_B/L}{R_B/L} \cdot U + \frac{-2R_B/L}{-R_B/L} \cdot U e^{-t \cdot \frac{R_B}{L}} =$$

$$= -U + 2U e^{-t \cdot R_B/L} = -30 + 60e^{-10^3 t}, \text{ В}$$

$$i'_{2050}(t') = u'_{2050}(t') / R_B = -30 + 60e^{-10^3 t}, \text{ mA}$$

где t' - время волны, $t = \tau \cdot v^0$.

Для линии 1

$$U'_{1050} = -U^0; \quad N = \frac{R - R_B}{R + R_B} = \frac{4 - 1}{4 + 1} = 0,8$$

$$U'_{1050}(t') = -U^0 \cdot 0,8 = -30 \cdot 0,8 = -24 \text{ В}$$

$$i'_{1050}(t') = -u'_{1050}(t') / R_B = -18 \text{ mA}.$$

При пропадании волны x' , отсчитываемого от конца линии 2

$$i'_{2050}(t', x') = -30 + 60e^{-10^3(t' - \frac{x'}{v^0})}, \text{ mA}$$

$$i'_{2050}(t', x') = -30 + 60e^{-10^3(t' - \frac{x'}{v^0})}, \text{ mA}$$

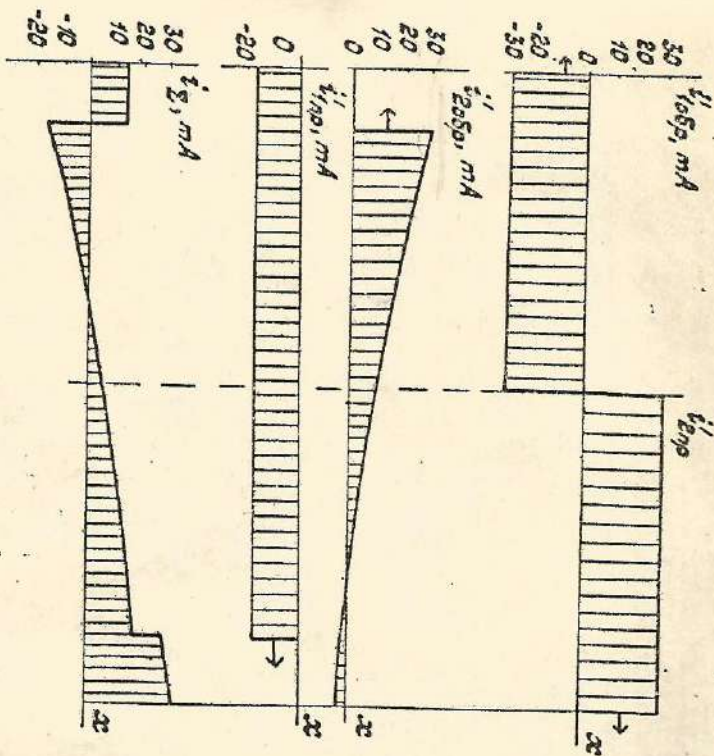
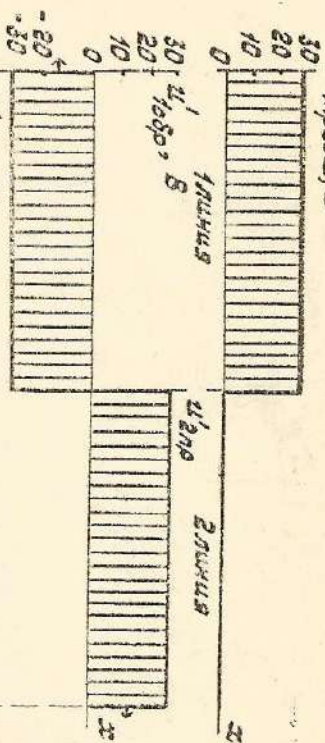


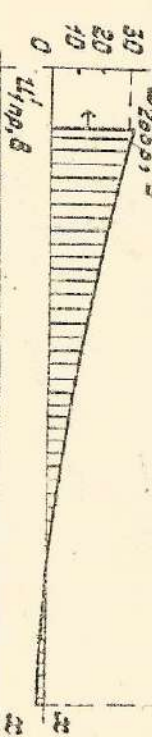
Рис. 7.3а. Эпюры токов

$$i(x, t) = i_{\text{наход}}(x, t) + \sum i_{\text{тп}}(x, t) - \sum i_{\text{от}}(x, t)$$

Чертежи 8

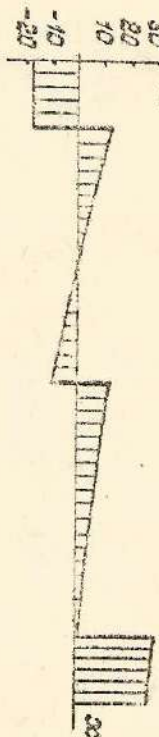


Для произвольного места x , отсчитываемого от начала линии 1
 $\frac{dI'_1}{dx} \left(\frac{dx}{dt}, x \right) = -18 \text{ А}, \frac{d^2I'_1}{dx^2} \left(\frac{dx}{dt}, x \right) = 18 \text{ д}$.
 Других отражений для заданного времени $T = 2.8 \text{ с}$ не наблюдается.
 Эноры напряжения и тока приведены на рис. 7.6.



СИСТОМЫ РЕКОМЕНДУЕМОЙ ЛИТЕРАТУРЫ

1. Анализ электрических цепей: Метод. указания к выполнению расчетно-графических работ / Составитель Ю. Я. Лемеш; Чуваш. Ун-т. Чебоксары, 1969. 56 с.



2. Установившиеся режимы электрических цепей: Метод. указания к выполнению расчетно-графических работ на микроЭМ "Электроника ДЭ-28" / Составитель В. А. Ильин; Чуваш. Ун-т. Чебоксары, 1985. 48 с.

3. Переходные процессы в электрических цепях. Нелинейные цепи: Методические указания к выполнению расчетно-графических работ на микроЭМ "Электроника ДЭ-28" / Составитель В. А. Ильин; Чуваш. Ун-т. Чебоксары, 1985. 39 с.

$$U(x, t) = U_{\text{прост}} + \sum U_{\text{пру}}(x, t) + \sum U_{\text{обн}}(x, t)$$

4. Герасимов Г.Р., Ионин Г.А., Неструев А.В. и др. Основы анализа цепей: Учебник для втузов. 5-е изд., перераб. М: Энергоатомиздат, 1989. 528 с.